

سرعت معینی، در جسم منتشر شده؛ شکل انتشار آن به صورت موج است. باید توجه داشت که مطابق این تعریف، در مواردی از این دست، جسم دارای دو نوع سرعت است: سرعت ذرات جسم و سرعت انتشار موج تنش در جسم^۱ اما این دو سرعت با هم متفاوت هستند.

موجهائی که در داخل جرم یک جسم انتقال می‌یابند: موج حجمی یا بلندی^۱؛ و موجهائی که در سطح جسم انتقال می‌یابند: "موج سطحی"^۲ نامیده می‌شوند. امکان اینکه در یک جسم این دو موج به طور همزمان، انتشار یابند، وجود دارد.

به هر حال، در بررسی مقدماتی موجهای تنش الاستیک، دو نوع موج در یک میله بلند انتشار می‌یابند. این دو نوع موج عبارتند از:

(i) موجهای تنش طولی

و (ii) موجهای تنش پیچشی

منظور از میله در این بحث، جسم جامدی است که طول آن نسبت به ابعاد سطح مقطع آن خیلی بزرگتر می‌باشد.

در یک میله بلند و ثابت، موجهای تنش طولی به دو صورت موجهای تنش فشاری و موجهای تنش کششی انتشار می‌یابند. در موجهای تنش فشاری - صرفنظر از ضربه یا ضربه پواسون جهت حرکت ذرات و جهت حرکت موج تنش یکی بوده و در موجهای تنش کششی، این دو در خلاف جهت هم خواهند بود. در ضمن باید توجه داشت که در موجهای تنش پیچشی، حرکت موج تنش در امتداد طول میله و حرکت ذرات جسم روی سطح مقطع آن اتفاق می‌افتد. به عبارت دیگر، جهت این دو حرکت عمود بر یکدیگر خواهد بود.

۲-۲- انتشار موج فتنش فشاری

برای بررسی انتشار موج تنش فشاری، یک میله بلند منشوری و ایزوتروپیک در نظر گرفته می‌شود. (مطابق شکل (۱-۲)). در آغاز تغییر مکان مقطع AB از میله که به فاصله x از مبدأ O قرار دارد، فرض می‌شود. مبدأ مختصات O در فضا ثابت است، و انتهای میله در زمان $t = 0$ یا به عبارت دیگر، در حالت بدون تنش، در این نقطه قرار گرفته است. بدین ترتیب، مبدأ مختصات

بخش دوم

انتشار موجهای تنش محوری و تنش پیچشی ناشی از ضربه در میله‌های بلند منشوری

۱-۲- مقدمه

در مقاومت مصالح مقدماتی، و حتی در برخی مسایل مقاومت مصالح پیشرفته، تحلیل مسایل با فرض این که بار وارد به جسم استاتیکی است، انجام می‌پذیرد. ولی بسیاری از مسایل مهندسی با توجه به این فرض قابل بررسی و توجیه نیست. از جمله این مسایل: برخورد اجسام جامد با یکدیگر (برای برآورد مقدار تنش در آنها)، شکست بعضی از قطعات ترد در اثر ضربه‌های فشاری، پیدایش و انتشار ترکهای کششی در قطعات ترد تحت شوک فشار و غیره را می‌توان نام برد. آشنایی با موج تنش و انتشار آن برای شناخت علت و توجیه این مسایل، ضروری است. در ابتدا، برخی تعاریف مورد نیاز برای تئوری موج تنش را بیان می‌کنیم:

یک موج تنش، وقتی در یک جسم جامد انتقال می‌یابد که قسمتهای مختلف آن، شبیه حالت برخورد اجسام جامد با یکدیگر، در حالت تعادل نباشد. در این موارد، با توجه به خواص فیزیکی اجسام یک زمان محدود لازم است تا این عدم تعادل توسط قسمتهای دیگر جسم حس شود. عدم تعادل موضعی باعث حرکت ذرات جسم شده، این حرکت همراه با توزیع تنش است. تنش ایجاد شده با

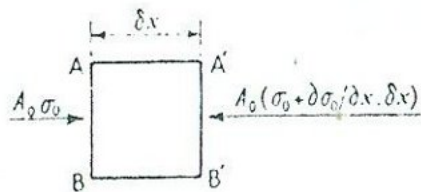
سطح مقطع میله A_0 است، رابطه حرکت به صورت زیر خواهد بود:

$$-\frac{\partial \sigma_0}{\partial x} \delta x A_0 = A_0 \rho_0 \delta x \frac{\partial^2 u}{\partial t^2}$$

در نتیجه:

$$\frac{\partial \sigma_0}{\partial x} = -\rho_0 \frac{\partial^2 u}{\partial t^2} \quad (a)$$

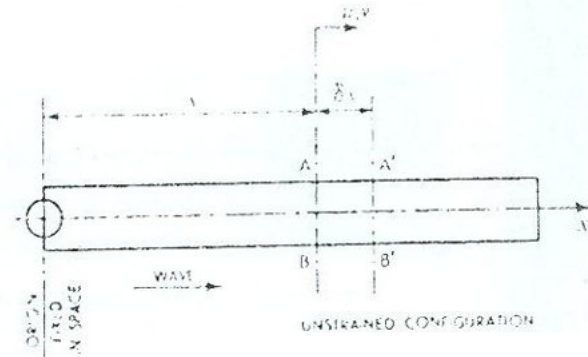
که در آن چگالی جسم بدون کرنش است. علت علامت منفی در این رابطه این است که براساس سیستم تنش فشاری نشان داده شده، شتاب المان در جهت x منفی خواهد بود.



شکل (۲.۲)

عبارت دیگر، در حالت بدون تنش، در این نقطه قرار گرفته است. بدین ترتیب، مبدأ مختصات ثابت در فضا است.

تغییر مکان مقطع $A'B'$ که موازی AB بوده، در فاصله δx از 0 از 0 قرار دارد، بنابراین $u + \frac{\partial u}{\partial x} \delta x$ خواهد بود. در ضمن، با فرض این که در زمان $t = 0$ به انتهای $x = 0$ میله یک نیروی فشاری ناگهانی وارد آمده است، در زمان t تنش شمال فشاری بر روی سطح AB ، σ_0 خواهد بود.



شکل (۲.۱)

برای تحلیل الاستیک میله، روابط تعادل، روابط هوک و روابط کرنش - تغییر مکان ضروری است. در تحلیل مقدماتی زیر اثر کرنش عرضی و اینرسی، و در عین حال، از نیروهای وزنی و میرا صرفنظر می‌شود.

که در آن f و F توابع مستقل و دلخواهی هستند. با دو بار مشتق‌گیری از u نسبت به زمان نتیجه زیر به دست می‌آید:

$$\frac{\partial u}{\partial t} = cf'(x - ct) + cF'(x + ct) \quad (e)$$

$$\frac{\partial^2 u}{\partial t^2} = c^2 f''(x - ct) + c^2 F''(x + ct) \quad (f)$$

به طریق مشابه با دو بار مشتق گرفتن نسبت به x نتیجه زیر حاصل می‌شود:

$$\frac{\partial u}{\partial x} = f'(x - ct) + F'(x + ct) \quad (g)$$

$$\frac{\partial^2 u}{\partial x^2} = f''(x - ct) + F''(x + ct) \quad (h)$$

روابط (f) و (h) در رابطه (e) صادق هستند، در نتیجه می‌توان گرفت که حل کلی رابطه (e) به صورت رابطه (d) خواهد بود. باید توجه داشت که توابع $f(x - ct)$ ، $F(x + ct)$ می‌توانند توابعی از نوع $w \sin w$ ، $\exp w$ ، w^n و غیره باشند که در آن w همان $(x - ct)$ یا $(x + ct)$ است. با انتخاب عبارت اول رابطه (d)، u برابر می‌شود با:

$$u = f(x - ct) \quad (i)$$

اگر در $x = x_1$ ، $t = t_1$ و همچنین در $x = x_2$ ، $t = t_2$ ، $u = s$ باشد، شکل (۲-۳) از رابطه (i) نتیجه خواهد شد:

$$s = f(x_1 - ct_1) = f(x_2 - ct_2)$$

و در نتیجه؛

$$x_1 - ct_1 = x_2 - ct_2$$

گرنش در المان به طول Δx برابر با $\frac{\partial u}{\partial x}$ است، در نتیجه قانون هوک به صورت زیر در می‌آید:

$$\frac{\partial u}{\partial x} = -\frac{\sigma_o}{E}$$

که در آن E مدول الاستیسته جسم است. با مشتق گرفتن از عبارت فوق نتیجه می‌شود:

$$\frac{\partial \sigma_o}{\partial x} = -E \frac{\partial^2 u}{\partial x^2} \quad (b)$$

از ترکیب روابط (a) و (b) معادله دیفرانسیل درجه دوم به دست می‌آید:

$$\rho_o \frac{\partial^2 u}{\partial t^2} = E \frac{\partial^2 u}{\partial x^2}$$

یا:

$$\frac{\partial^2 u}{\partial t^2} = \frac{E}{\rho_o} \frac{\partial^2 u}{\partial x^2} = c_1^2 \frac{\partial^2 u}{\partial x^2} \quad (۲-۱)$$

که در آن:

$$c_1 = \sqrt{\frac{E}{\rho_o}} \quad (۲-۲)$$

حل معادله موج:

معادله موج یک محوری به صورت زیر مفروض است:

$$\frac{\partial^2 u}{\partial t^2} = c^2 \frac{\partial^2 u}{\partial x^2} \quad (c)$$

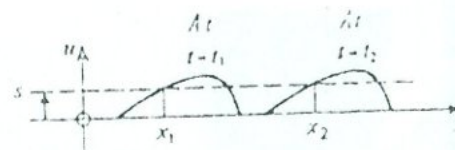
می‌توان نشان داد که حل کلی این معادله به صورت زیر خواهد بود:

$$u = f(x - ct) + F(x + ct) \quad (d)$$

از این رابطه c برابر خواهد شد با:

$$c = \frac{x_2 - x_1}{t_2 - t_1}$$

بدین ترتیب c در رابطه (۱) نرخ پیشروی موج در جهت محور x است. بطریق مشابه، c_1 در رابطه‌های (۲-۱) و (۲-۲) سرعت پیشروی موج تنش می‌باشد.



شکل (۲-۳)

با توجه به بررسی فوق دیده می‌شود که انتخاب u به صورت رابطه (i) نشاندهنده حرکت موج در جهت ازدیاد x (مثبت) خواهد بود. به طریق مشابه، اگر از عبارت دوم رابطه (d) $[F(x+ct)]$ استفاده شود، حرکت موج در جهت کم شدن x (منفی) خواهد بود.

بدین ترتیب، موج $f(x-ct)$ موج حرکت‌کننده به سمت جلو و موج $F(x+ct)$ موج حرکت‌کننده به سمت عقب نامیده می‌شوند.

عبارتهای $f(x-ct)$ ، $F(x+ct)$ به تنهایی یا با ترکیبهای مناسب می‌توانند جواب معادله موج (۲) باشند. باید توجه داشت که با انتخاب این عبارتها، فرض بر این خواهد بود که ضمن پیشروی شکل موج ثابت است. به عبارت دیگر، موج تنش میرا نمی‌باشد.

۲-۳- سرعت موج تنش طولی الاستیک.

با بررسی راه حل ساده ارائه شده فوق نتیجه می‌شود که c_1 در رابطه (۲-۲) سرعت انتشار موج تنش طولی در یک میله الاستیک بدون کرنش است. این سرعت برابر $\sqrt{E/\rho}$ بوده، برای موجهای تنش طولی کششی و فشاری یکسان هستند.

باید توجه داشت که c_1 مستقل از $\frac{\partial u}{\partial t}$ یا سرعت ذرات جسم است به عبارت دیگر، c_1 سرعت انتشار موج تنش بوده و به خواص فیزیکی جسم بستگی دارد، حال آنکه $\frac{\partial u}{\partial t}$ به شکل نیروی وارده بستگی خواهد داشت.

برای نمونه: سرعت انتشار موج تنش محوری در چند جسم مختلف، در جدول (۲-۱) آورده شده است. باید توجه داشت که چون مدول الاستیته E تابع درجه حرارت است، c_1 نیز با درجه حرارت تغییر می‌کند در ضمن، مقادیر داده شده در جدول (۲-۱) با فرض ایزوتروپیک بودن جسم صحیح می‌باشد.

جدول (۲-۱) سرعت‌های انتشار موجهای الاستیک محوری و پیچشی

$$c_L = \sqrt{\frac{E}{\rho_0}} \quad \text{and} \quad c_T = \sqrt{\frac{G}{\rho_0}}$$

	Cast Iron	Carbon Steel	Brass	Copper	Lead	Aluminum	Glass
E lb/in ²	$16.5 \cdot 10^6$	$29.5 \cdot 10^6$	$13.5 \cdot 10^6$	$16.5 \cdot 10^6$	$2.5 \cdot 10^6$	$10 \cdot 10^6$	$8 \cdot 10^6$
$\rho_0 = \text{lb/in}^3$	0.26	0.28	0.30	0.32	0.41	0.096	0.070
$c_L = \sqrt{E/\rho_0}$ ft/sec ($g \geq 384$ in/sec ²)	13 025	16 900	11 000	12 100	3 900	16 700	17 500
$c_T = \sqrt{G/\rho_0}$ ft/sec	8 100	10 600	6 700	7 500	2 300	10 200	10 700

$$\frac{\partial \sigma_x}{\partial x} = -\rho_0 \frac{\partial^2 u}{\partial t^2} \quad (a)$$

که در آن u ، تغییر مکان ذره‌ای است که در یک حالت بدون تنش به فاصله x از مبدا قرار می‌گیرد. تنشهای خطی در جهت‌های x ، y ، z به صورت σ_x ، σ_y ، σ_z ، همچنین کرنشهای خطی در این جهت‌ها به صورت ϵ_x ، ϵ_y ، ϵ_z نشان داده می‌شوند. با توجه به اینکه، میله در حالت کرنش صفحه‌ای قرار گرفته، شرایط ذیل در میله حاکم می‌باشد:

$$\epsilon_z = 0, \sigma_y = 0 \quad (b)$$

به عبارت دیگر، میله، در جهت y آزادانه حرکت می‌کند و در جهت z مقید است. با استفاده از قانون هوک می‌توان نوشت:

$$\epsilon_z = \frac{-\sigma_z - \nu \sigma_x}{E} = 0$$

$$\sigma_z = \nu \sigma_x \quad \text{یا:} \quad (c)$$

(c)

$$\epsilon_x = \frac{-\sigma_x - \nu \sigma_z}{E}$$

از طرفی کرنش ϵ_x برابر است با:با استفاده از رابطه (b) و با قرار دادن $\frac{\partial u}{\partial x}$ به جای ϵ_x نتیجه زیر بدست می‌آید:

$$\frac{\partial u}{\partial x} = -\frac{(1-\nu^2)}{E} \sigma_x$$

$$\frac{\partial^2 u}{\partial x^2} = -\frac{(1-\nu^2)}{E} \frac{\partial \sigma_x}{\partial x} \quad (d)$$

(d)

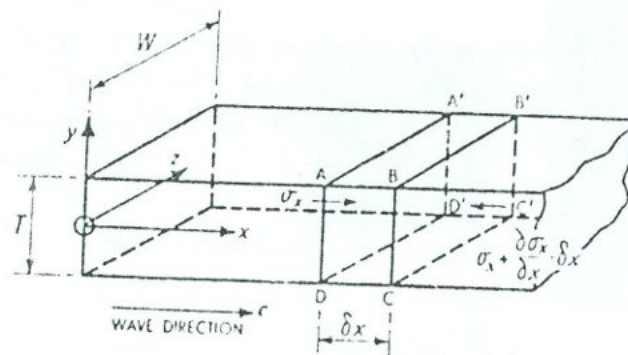
با استفاده از روابط (a) و (d) معادله موج تنش به صورت زیر بدست می‌آید:

$$\frac{\partial^2 u}{\partial x^2} = \frac{E}{\rho_0 (1-\nu^2)} \frac{\partial^2 u}{\partial t^2} \quad (2-3)$$

(۲-۳)

۲-۴- انتشار موج تنش محوری در شرایط کرنش صفحه‌ای

برای بدست آوردن سرعت موج تنش محوری، در قسمت (۲-۲) فرض بر این قرار گرفت که میله بلند است و در جهت‌های عرضی آزاد می‌باشد، در این صورت، قانون هوک به گونه ساده $E \epsilon = \sigma$ مورد استفاده قرار گرفت. در این قسمت و قسمت بعد میله در حالت کرنش صفحه‌ای و میله در حالت مقید در جهت‌های عرضی بررسی می‌گردد. طبیعی است که در این حالت‌ها، با تغییر قانون هوک معادله انتشار موج متفاوت می‌شود، در نتیجه سرعت انتشار موج تغییر می‌کند. میله‌ای مطابق شکل (۲-۲) با ابعاد مقطع T ، w در نظر گرفته و فرض می‌شود که طول آن نسبت به ابعاد مقطع بسیار بزرگ می‌باشد.



شکل (۲-۴)

مشکل حالت قبل که مبدا 0 و محور ox در فضا ثابت بوده، فرض می‌شود که طول موج اعمال شده در $0 = x$ ، $t = 0$ بسیار بزرگتر از T می‌باشد. با انتخاب المان $ABCD$ ، $A'B'C'D'$ و نوشتن رابطه تعادل این نتیجه بدست می‌آید:

با ترکیب این رابطه و رابطه (a) قسمت (۴-۲) معادله موج تنش در این حالت به صورت نهائی زیر

$$\frac{\partial^2 u}{\partial t^2} = \frac{E}{\rho_0} \frac{(1-\nu)}{(1+\nu)(1-2\nu)} \cdot \frac{\partial^2 u}{\partial x^2} \quad (۲-۵)$$

در خواهد آمد:

و در نتیجه، سرعت انتشار موج تنش طولی برابر می‌شود با:

$$C''_L = \sqrt{\frac{E}{\rho_0} \cdot \frac{(1-\nu)}{(1+\nu)(1-2\nu)}}$$

یا

$$\frac{C''_L}{C_L} = \sqrt{\frac{(1-\nu)}{(1+\nu)(1-2\nu)}} \quad (۲-۶)$$

C''_L را می‌توان به صورت زیر نیز نوشت:

$$C''_L = \sqrt{\frac{(\lambda + 2G)}{\rho_0}}$$

که در آن λ ثابت لامه بوده، برابر است با:

$$\lambda = \frac{E\nu}{(1+\nu)(1-2\nu)}$$

نسبت C''_L/C_L نیز در جدول (۲-۲) آورده شده است.

جدول (۲-۲) سرعت انتشار موج تنش محوری در حالی که میله در جهت‌های عرضی مقید است

ν	$\frac{1}{4}$	$\frac{1}{3}$	$\frac{1}{2}$
c'_L/c_L	$\frac{4}{\sqrt{15}}$ ≈ 1.03	$3\sqrt{2/4}$ ≈ 1.06	$2\sqrt{3/3}$ ≈ 1.15
c''_L/c_L	$\sqrt{1.2}$ ≈ 1.1	$\sqrt{1.5}$ ≈ 1.22	∞

و در نتیجه سرعت موج تنش محوری در این حالت برابر می‌شود با:

$$c'_L = \sqrt{\frac{E}{\rho_0(1-\nu^2)}} \quad \text{یا} \quad \frac{C'_L}{C_L} = \frac{1}{\sqrt{1-\nu^2}} \quad (۲-۴)$$

نسبت C'_L/C_L برای چند ضریب پواسون مختلف در جدول (۲-۲) آورده شده است.

۲-۵- انتشار موج تنش محوری برای میله‌ای که در جهت‌های عرضی مقید است

با مراجعه مجدد به شکل (۲-۴) و با فرض مقید بودن میله در جهت‌های x, y شرایط حاکم

در این میله به صورت زیر خواهد بود:

$$\varepsilon_y = \varepsilon_z = 0 \quad (a)$$

با استفاده از رابطه هوک نتیجه زیر حاصل می‌شود:

$$\varepsilon_y = \frac{\sigma_y - \nu(\sigma_x - \sigma_z)}{E} = \frac{\sigma_x(1-\nu) + \nu\sigma_x}{E} = 0$$

یا:

$$\sigma_y = -\frac{\nu}{1-\nu} \sigma_x \quad (b)$$

از طرفی ε_x برابر می‌شود با:

$$\varepsilon_x = \frac{\partial u}{\partial x} = \frac{-\sigma_x - 2\nu\sigma_y}{E}$$

این رابطه با استفاده از رابطه (b) به صورت زیر در می‌آید:

$$\frac{\partial u}{\partial x} = -\sigma_x \frac{(1-\nu-2\nu^2)}{E(1-\nu)}$$

در نتیجه:

$$\frac{\partial \sigma_x}{\partial x} = -E \frac{(1-\nu)}{(1+\nu)(1-2\nu)} \cdot \frac{\partial^2 u}{\partial x^2} \quad (c)$$

۲-۶ عبارتی برای شدت تنش منتشر شده

گرنش محوری در المانی از میله تحت تنش برابر خواهد بود با:

$$\epsilon_x = \frac{\partial u}{\partial x} \quad (a)$$

در نتیجه:

$$\sigma_o = -E \frac{\partial u}{\partial x} \quad (b)$$

با استفاده از روابط (c), (b) قسمت (۲-۶) این عبارت را می توان به صورت زیر نوشت:

$$\sigma_o = \frac{E}{c_l} \frac{\partial u}{\partial t} \quad (c)$$

سرعت میله در مقطع x بوده، و اگر با v نشان داده شود، نتیجه خواهد شد:

$$\sigma_o = \frac{E v}{c_l} = \rho_o c_l v \quad (2-7)$$

در مجموع بحث میله تحت تنش محوری، جز در مواردی که مشخصاً بیان خواهد شد، فرض بر آن است که میله در حالت کمانش و یا ناپایداری قرار ندارد.

رابطه (۲-۷) برای انتشار موج کششی نیز قابل استفاده است.

برای مقایسه سرعت انتشار موج تنش و سرعت ذرات جسم، از رابطه (۲-۷) این نتیجه بدست آید:

$$v_o = \frac{\sigma_o}{\sqrt{E \rho_o}}$$

در یک میله فولادی تحت تنش 16 tonf/in^2 ، سرعت ذرات برابر خواهد شد با:

$$v_o = \frac{16 \times 2240}{\sqrt{30 \times 10^6 \times 0.28/384}} \approx 20 \text{ ft/sec}$$

مقدار ρc در میله ها، معمولاً امیدانس مکانیکی^{-۱} نامیده می شود.

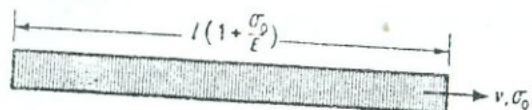
۲-۷. سرعت انتشار موج در جسم تحت تنش و در فضای اشغال شده توسط جسم

بدون تنش

یک میله بلند مطابق شکل (۲-۵) در نظر گرفته، فرض می شود یک موج الاستیک کششی از انتهای سمت راست آن شروع کرده، به طرف چپ میله حرکت می کند. پس از رسیدن موج تنش به انتهای چپ، طول میله برابر می شود با $(1 + \frac{\sigma_o}{E})l$ که در آن σ_o شدت تنش کششی است، اگر سرعت موج در فضای اشغال شده توسط میله تحت تنش را با c_l و سرعت حرکت ذرات را با v نشان دهیم نتیجه زیر بدست می آید:

$$\frac{L (1 + \frac{\sigma_o}{E})}{c_l} = \frac{L \frac{\sigma_o}{E}}{v} \quad (a)$$

این رابطه با توجه به این حقیقت نوشته شده است که زمان رسیدن موج تنش از یک انتها به انتهای دیگر، برابر با زمانی است که انتهای سمت راست میله به اندازه $\delta L = L \frac{\sigma_o}{E}$ جابه جا شده است.



شکل (۲-۵)

از رابطه (۱) نتیجه می‌شود:

$$C_{IE} = \frac{v(1 + \frac{\sigma_0}{E})}{\frac{\sigma_0}{E}} \quad (b)$$

با استفاده از رابطه (۷-۲) رابطه (b) را می‌توان به صورت زیر نوشت:

$$C_{IE} = C_0 + v \quad (۷-۸)$$

یا:

$$C'_{IE} = C_0 - v \quad (۷-۹)$$

که در رابطه اخیر از C_0 به جای C_1 استفاده شده است.

به طریق مشابه، اگر یک میله تحت تنش فشاری مورد بررسی قرار گیرد، نتیجه زیر حاصل می‌شود:

$$C'_{IE} = C_0 - v$$

المانی به طول واحد تحت اثر تنش کششی، طولی برابر با $(1 + e)$ خواهد شد، لذا:

$$\frac{1}{C_0} = \frac{1 + e}{C_{IE}}$$

$$C_{IE} = C_0 (1 + e) = C_0 + v$$

$$C_{IE}/C_0 = 1 + v/C_0$$

در برخوردهای میکائیکی، سرعت v از مرتبه 10^3 ft/sec و سرعت C_0 از مرتبه 10000 ft/sec بدست می‌آید. در نتیجه، در حالت‌های برخوردهای الاستیک، فرق قابل توجهی بین C_{IE} و C_0 وجود ندارد.

۲-۸ - انتشار موج تنش پیچشی در یک میله بلند استوانه‌ای

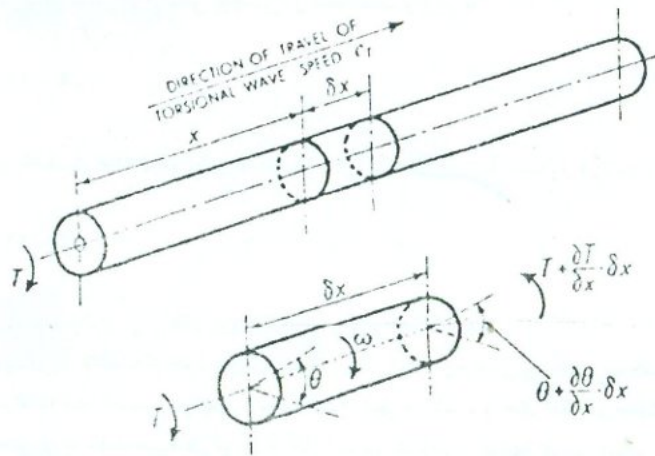
فرض می‌شود، کوپل پیچشی T که با زمان تغییر می‌کند، در $t = 0$ بطور ناگهانی در انتهای سمت چپ یک میله بلند استوانه‌ای وارد آید، شکل (۶-۲). محور OX در امتداد محور استوانه و مبدا O در مرکز مقطع سمت چپ میله و ثابت فرض شود:

برای بررسی و تحلیل این مسأله، المانی از میله‌ای به طول δx و در فاصله x از مبدا O

انتخاب می‌گردد. زاویه پیچشی انتهای سمت چپ المان θ و انتهای سمت راست $\theta + \frac{\partial \theta}{\partial x} \delta x$ است و به طریق مشابه کوپل پیچشی در این دو انتها به ترتیب T و $T + \frac{\partial T}{\partial x} \delta x$ خواهد بود. بدین ترتیب، کوپل خالص وارد به المان δx ، $\frac{\partial T}{\partial x} \delta x$ بوده، با توجه به شتاب زاویه‌ای المان $-\frac{\partial^2 \theta}{\partial t^2} \delta x$ تعادل چرخشی المان به صورت زیر در می‌آید:

$$\frac{\partial T}{\partial x} \delta x = (I \cdot \delta x) \frac{\partial^2 \theta}{\partial t^2} \quad (a)$$

که در آن $I \cdot \delta x$ ممان اینرسی المانی به طول δx حول محور میله می‌باشد.



شکل (۶-۲)

با استفاده از تئوری مقدماتی پیچش رابطه کوپل و زاویه پیچش به صورت زیر می‌باشد:

$$T = JG \frac{\frac{\partial \theta}{\partial x} \frac{\partial x}{\partial t}}{\frac{\partial x}{\partial t}} = JG \frac{\partial \theta}{\partial x} \quad (b)$$

در این رابطه G مدول برشی و J ممان قطبی مقطع می باشد. با مشتق گرفتن از رابطه (b) و ترکیب نتیجه با رابطه (a) نتیجه زیر بدست می آید:

$$\begin{aligned} \frac{\partial T}{\partial x} &= JG \frac{\partial^2 \theta}{\partial x^2} = I \frac{\partial^2 \theta}{\partial t^2} \\ \frac{\partial^2 \theta}{\partial t^2} &= \frac{JG}{I} \frac{\partial^2 \theta}{\partial x^2} = C_T^2 \frac{\partial^2 \theta}{\partial x^2} \end{aligned} \quad (2-10)$$

یا:

رابطه (2-10) در مورد انتشار موج تنش محوری مشابه رابطه (2-1) است. در این رابطه C_T سرعت انتشار موج تنش پیچشی در میله است و برابر با:

$$C_T = \sqrt{\frac{JG}{I}} \quad (2-11)$$

می باشد. در میله استوانه ای $I = \pi a^4/2$ ، $J = \pi a^4/2$ است، و در نتیجه:

$$C_T = \sqrt{\frac{G}{\rho_0}} \quad (2-12)$$

مقادیر نمونه ای از C_T در جدول (2-1) آورده شده است.

باید توجه داشت که چون برای بدست آوردن رابطه موج تنش پیچشی و سرعت آن از روابط دقیق استفاده شده است، جوابهای بدست آمده دقیق می باشد، و حال آنکه در حالت انتشار موج تنش محوری به علت صرف نظر کردن از آثار اینرسی شعاعی، جوابها تقریبی است. با مقایسه روابط (2-2) و (2-12) نتیجه می شود:

$$\frac{C_L}{C_T} = \sqrt{\frac{E}{G}} = \sqrt{2(1+\nu)}$$

و چون $0 \leq \nu \leq 0.5$ است، محدوده این نسبت برابر خواهد شد با: $\sqrt{2} \leq \frac{C_L}{C_T} \leq \sqrt{3}$. برای محاسبه تنش پیچشی در یک نقطه، مقدار کوپل در آن مقطع باید برآورد شود. با روشی مشابه حالت انتشار موج تنش محوری، حل رابطه (2-10) به صورت زیر در نظر گرفته می شود:

$$\theta = g(x - C_T t)$$

یعنی؛ زاویه پیچش هر مقطع از میله، تابعی از $(x - C_T t)$ می باشد. با مشتق گرفتن از این رابطه نسبت به x و t نتیجه می شود:

$$\frac{\partial \theta}{\partial x} = g'(x - C_T t)$$

$$\frac{\partial \theta}{\partial t} = -C_T g'(x - C_T t)$$

$$\frac{\partial \theta}{\partial x} = -\frac{1}{C_T} \frac{\partial \theta}{\partial t}$$

در نتیجه:

از طرف دیگر:

$$T = JG \frac{\partial \theta}{\partial x}$$

با ترکیب دو رابطه اخیر نتیجه خواهد شد.

$$T = \frac{JG}{C_T} \cdot \frac{\partial \theta}{\partial t} = J \sqrt{G \rho_0} \cdot \omega \quad (c)$$

که در آن $\omega = -\frac{\partial \theta}{\partial t}$ سرعت زاویه ای مقطع می باشد. برای یک لوله جدار نازک:

$$J \approx 2\pi a_0^3 t_0$$

است که در آن a_0 شعاع متوسط لوله و t_0 ضخامت آن می باشد. با فرض تنش برشی متوسط τ روی مقطع، نتیجه زیر بدست می آید:

$$\tau \cdot 2\pi a_0 t_0 \cdot a_0 = 2\pi a_0^3 t_0 \sqrt{G \rho_0} \omega$$

یا:

$$\tau = \rho_0 C_T (a \omega)$$

(2-13)

در حالت لوله جدار نازک تحت پیچش، رابطه بدست آمده برای τ ، مشابه رابطه (۷-۲) در مورد تنش محوری خواهد بود.

بررسی انتشار موج پیچشی به کمک انتشار موج محوری:

در قسمتهای (۴-۲) و (۵-۲) به بررسی انتشار موج تنش در میله‌هایی که به صورتی در جهت‌های عرضی مقید هستند، پرداختیم. در اینجا با استفاده از روشی مشابه، می‌توان سرعت انتشار موج تنش پیچشی در لوله‌های جدار نازک را با استفاده از سرعت انتشار موج محوری بدست آورد. بدین منظور، لوله نازکی مطابق شکل (۷-۲) در نظر گرفته می‌شود. در اثر اعمال کوپل پیچشی ناگهانی T ، المانی از لوله در حالت برشی خالص و تحت تنش برشی τ قرار خواهد گرفت. تنشهای اصلی در این لوله روی نوار مارپیچ به زاویه 45° قرار گرفته، که برابر با $+\tau$ و $-\tau$ می‌باشند. در نتیجه، یک نوار مارپیچ از لوله، مشابه یک میله، تحت حالت خاص تنش ($\pm\tau$) قرار دارد. به عبارت دیگر، تحریک یک کوپل پیچشی در انتهای یک لوله جدار نازک، معادل انتشار موج محوری در امتداد این نوار مارپیچ می‌باشد.

معادله حرکت المانی از نوار مارپیچ در امتداد محور اصلی تنش کششی به صورت زیر می‌باشد:

$$\rho_0 \Lambda_0 dx_1 \frac{\partial^2 u_1}{\partial t^2} = \Lambda_0 d\tau \quad (d)$$

از طرف دیگر، در این المان:

$$f_1 = \frac{\partial u_1}{\partial x_1} = \frac{\tau(1+\nu)}{E} \quad (e)$$

با ترکیب روابط (d) ، (e) نتیجه می‌شود:

$$\frac{\partial^3 u_1}{\partial t^2} = \frac{E}{\rho_0 (1+\nu)} \cdot \frac{\partial^3 u_1}{\partial x_1^2} \quad (f)$$

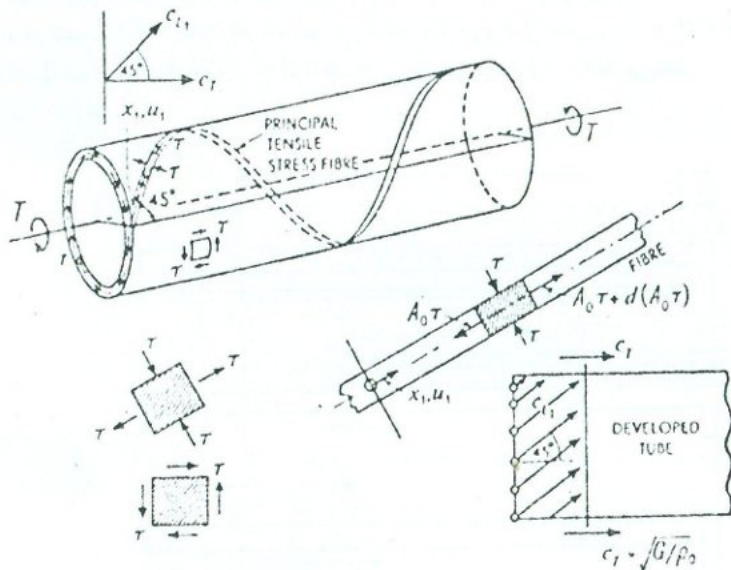
در نتیجه، سرعت انتشار موج تنش محوری طولی در امتداد نوار برابر می‌شود با:

$$C_{L1} = \sqrt{\frac{E}{\rho_0 (1+\nu)}} \quad (g)$$

واضح است که سرعت انتشار موج تنش فشاری، در امتداد نواری عمود بر نوار انتخاب شده، برابر با همین مقدار خواهد بود.

سرعت انتشار موج در امتداد محور لوله، همان سرعت انتشار موج پیچشی C_T است، که با برابر $C_T \cos 45^\circ$ خواهد بود. در نتیجه:

$$C_T = \frac{Cl_1}{\sqrt{2}} = \sqrt{\frac{E}{2(1+\nu)\rho_0}} = \sqrt{\frac{G}{\rho_0}} \quad (h)$$



شکل (۷-۲)

۲-۹- انعکاس و ترکیب موجهای تنش

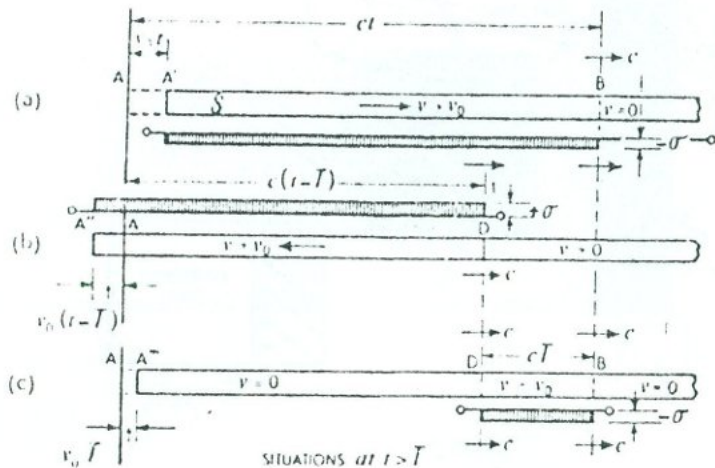
دوباره یادآوری می‌شود که در موج تنش کششی، جهت انتشار موج و جهت حرکت ذرات، مخالف یکدیگر، بوده اما در موج تنش فشاری هم سواست. در ضمن، باید توجه داشت که رابطه کلی موج:

$$\frac{\partial^2 u}{\partial t^2} = c^2 \frac{\partial^2 u}{\partial x^2}$$

خطی است، در نتیجه حلهای این رابطه، قابل ترکیب خواهد بود. در ادامه بحث نمادهای C_1 ، C_2 و C_0 یکسان فرض می شوند.

ترکیب موجهای تنش

(i) میله بلند S مطابق شکل (۲-۸۱) در نظر گرفته می شود و فرض می شود که انتهای سمت چپ A با سرعت v_0 به سمت راست حرکت می کند. پس از زمان t ، A' به A'' رسیده و در نتیجه $AA'' = v_0 t$ خواهد شد. در همان زمان موج تنش فشاری $\sigma = \rho_0 C_0 v_0$ که به میله اعمال شده در امتداد میله از A تا B انتشار می یابد در نتیجه $AB = c_0 t$ می باشد.



شکل (۲-۸)

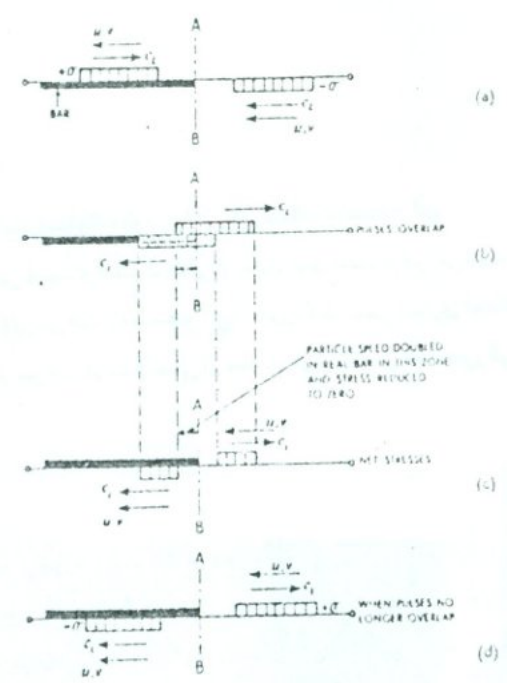
(ii) در حالت دوم فرض می شود که انتهای میله ای مشابه S پس از زمان $t = T$ با همان سرعت v_0 به سمت چپ حرکت می کند، شکل (2-8 b) و همزمان با آن موج تنش کششی $\sigma = \rho_0 C_0 v_0$ از A تا A'' در زمان $t > T$ ، $AA'' = v_0 (t - T)$ در نتیجه در زمان $t > T$ ، $AD = C_0 (t - T)$ خواهد شد.

(iii) حال اگر فرض گردد که انتهای سمت چپ میله A که در زمان $t = 0$ با سرعت v_0 شروع به حرکت به سمت راست کرده، پس از زمان $t = T$ با همان سرعت به سمت چپ حرکت بکند، و به ترتیب در زمانهای بیان شده موجهای تنش فشاری و کششی مثل حالتی (i) و (ii) در میله انتشار یابد، نتیجه ترکیب این دو حالت مطابق شکل (۲-۸۷) خواهد بود. به عبارت دیگر، در اثر ترکیب دو حالت فوق: A'' به A تغییر مکان داده، $AA'' = v_0 T$ می باشد. قسمت D A'' میله ساکن و بدون تنش خواهد بود اما قسمت DB میله به طول CT با سرعت v_0 به سمت راست حرکت کرده و تحت تنش فشاری σ قرار خواهد گرفت. بررسی فوق ترکیب موجهای تنش محوری در یک میله را نشان می دهد که در نهایت در اثر این ترکیب، میله تحت تأثیر یک موج پله ای فشاری قرار خواهد گرفت شکل (۲-۸۷).

انعکاس موجهای تنش

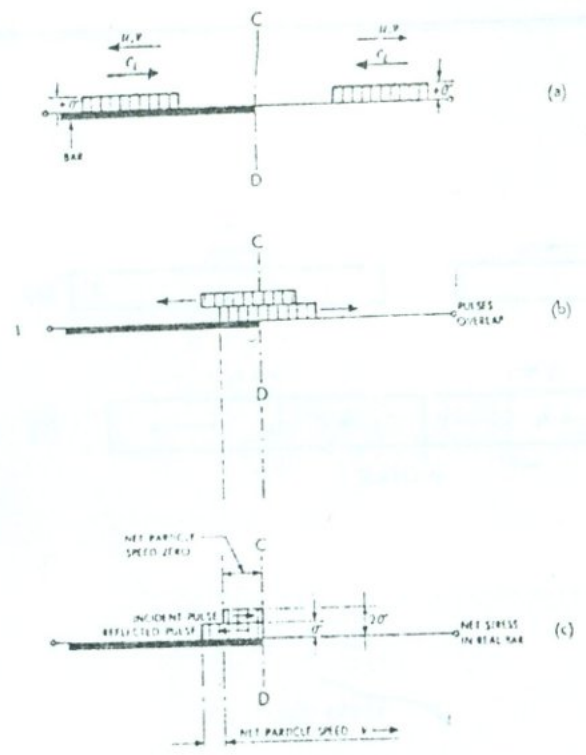
وقتی یک موج محوری به انتهای یک میله می رسد، با توجه به شرایط مرزی انتها، به صورت های مختلف انعکاس می یابد. برای بررسی نحوه انعکاس موج، دو نوع انتهای آزاد و گیردار در ادامه این قسمت مورد بررسی قرار می گیرد.

(i) انتهای ساده: موج تنش کششی پله ای مطابق شکل (۲-۹۱) روی میله ای در جهت x مثبت انتشار می یابد. برای بررسی انعکاس این موج در انتهای آزاد AB، فرض می شود که یک موج پله ای فرضی با همان شدت و همان طول در خلاف جهت موج اول حرکت می کند. این دو موج در AB به یکدیگر رسیده، پس از مدت زمان معینی از یکدیگر عبور خواهند کرد. شکل (۲-۹۲) در مدت شرایط انتهای آزاد را خواهد داشت. در عین حال، این انتها می تواند آزادانه حرکت کند. به کمک بررسی ساده فوق و با توجه به شکلهای (2-9c) و (2-9d) می توان نتیجه گرفت که یک موج تنش کششی اعمال شده به یک میله، برای برآورده شدن شرط مرزی یک انتهای آزاد، می بایست به صورت تنش فشاری انعکاس یابد. بطریق مشابه، موج تنش فشاری پس از رسیدن به انتهای آزاد، به صورت کششی انعکاس خواهد یافت.



شکل (۲.۹)

(ii) انتهای گیردار: در این حالت، مشابه حالت قبل عمل می‌کنیم. با این تفاوت که به جای موج فشاری فرضی از موج کششی فرضی استفاده می‌شود. شکل (۲-۱۰a). تلافی این دو موج با یکدیگر باعث می‌شود که تنش در انتهای آن دو برابر شده، تغییر مکان آن به صفر برسد. با توجه به این که شرط مرزی انتهای گیردار جابه جایی صفر است، دیده می‌شود که این نوع ترکیب، شرایط مرزی را برآورد می‌کند. به عبارت دیگر، موج تنش کششی پس از رسیدن به انتهای گیردار به صورت کششی: موج فشاری به صورت فشاری انعکاس می‌یابد.



شکل (۲-۱۰)

۲-۱۰- برخورد هم محور دو میله با سطح مقطع مساوی با امپدانس متفاوت
 فرض می‌شود دو میله S_1 و S_2 شکل (۲-۱۱a) با سطح مقطع برابر و امپدانسهای (ρc) متفاوت با سرعتهای v_1, v_2 ($v_1 < v_2$) حرکت می‌کنند. دو سطح انتهایی میله‌ها صاف و مسطح می‌باشد. پس از برخورد [شکل (۲-۱۱b)] دو موج تنش فشاری با سرعتهای c_1, c_2 در دو میله انتشار می‌یابد. قسمتهایی از دو میله که محصور بین دو پیشانی موج‌های تنش است، دارای سرعت برابر با v' شده و با توجه به اینکه سطح مقطع دو میله برابر است، بنابر اصل تساوی عمل و عکس‌العمل، تنش ایجاد شده در دو میله نیز برابر خواهد بود.

و:

$$\sigma = \frac{v_2 - v_1}{\frac{1}{\rho_1 c_1} + \frac{1}{\rho_2 c_2}} \quad (۲-۱۵)$$

برخورد یک استوانه توپر با انتهای صاف با سطح آب

این قسمت به عنوان مثالی از بحث فوق است فرض می‌شود. که یک میله استوانه‌ای توپر با چگالی ρ_0 و سرعت v_0 با سطح آبی برخورد کند. تنش فشاری ایجاد شده در میله σ_0 در نظر گرفته می‌شود و سرعت ذرات قسمتی از میله که موج تنش از آنها عبور کرده برابر است با:

$$v = v_0 \cdot \frac{\sigma_0}{\rho_0 c_0} \quad (۴)$$

در لحظه برخورد، v' سرعت ذرات سطح آب (با صرف نظر کردن از اثر آب روی محیط میله) نیز خواهد بود. با در نظر گرفتن تنش ایجاد شده در آب به صورت σ_w و با فرض اینکه در این مساله پیچیده بتوان از رابطه (۲-۷) استفاده کرد، نتیجه زیر حاصل می‌شود:

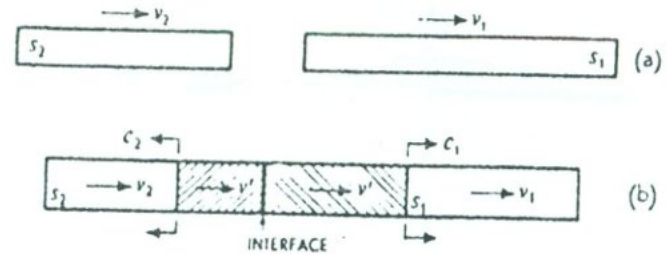
$$\sigma_w = \rho_w c_w v = \rho_w c_w \left(v_0 \cdot \frac{\sigma_0}{\rho_0 c_0} \right) \quad (b)$$

در روابط (۴) و (b) زیرنویس w برای میله و زیرنویس w برای آب در نظر گرفته شده است. حال با توجه به تساوی $\sigma_w = \sigma_0$ نتیجه می‌شود:

$$\sigma_0 = \frac{\rho_w c_w v_0}{1 + \frac{\rho_w c_w}{\rho_0 c_0}} = \frac{v_0}{\frac{1}{\rho_w c_w} + \frac{1}{\rho_0 c_0}}$$

به عنوان یک مثال عددی اگر سرعت اولیه میله 2500 ft/sec فرض شود، تنش الاستیک در برخورد با سطح آب برابر خواهد شد با:

$$\sigma_0 = 283000 \text{ lbf/in}^2 \approx 126 \text{ tonf/in}^2$$



شکل (۲-۱۱)

در قسمتهای قبل رابطه $\sigma = \rho cv$ بین شدت تنش، چگالی و امیدانس جسم بدست آمد. این رابطه برای جسمی که سرعت اولیه آن صفر است و پس از عبور موج تنش σ سرعت آن به v می‌رسد صحیح است، در حقیقت، v در این رابطه سرعت نسبی می‌باشد. به عبارت دیگر، سرعت نسبی قسمتهایی از دو میله S_2, S_1 که محصور بین دو پیشانی موج تنش است، به ترتیب $v_2 - v', v' - v_1$ خواهد بود. v' سرعت جدید ذرات پس از القای موج تنش در میله‌ها می‌باشد. بدین ترتیب، با توجه به بحث فوق، شرط تساوی تنش در دو میله به صورت زیر در می‌آید:

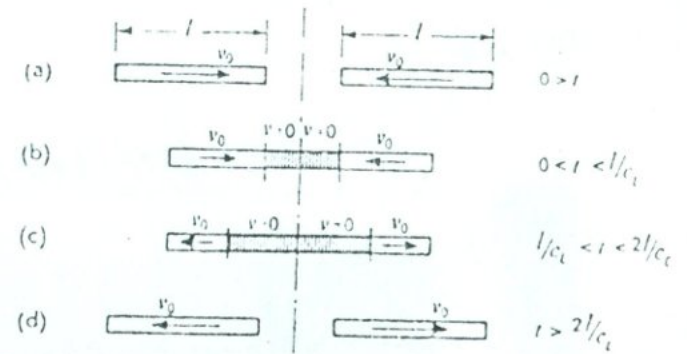
$$\sigma = \rho_1 c_1 (v' - v_1) = \rho_2 c_2 (v_2 - v')$$

در نتیجه:

$$v' = \frac{\rho_1 c_1 v_1 + \rho_2 c_2 v_2}{\rho_1 c_1 + \rho_2 c_2} \quad (۲-۱۴)$$

۱۱-۲- برخورد هم محور میله‌های یکسان

وقتی دو میله یکسان (با طول، مقطع و امپدانس برابر)، با سرعت برابر و در خلاف جهت یکدیگر حرکت کرده، در زمان $t = 0$ برخورد می‌کنند، به کمک بحث فوق و نتایج مربوط به انعکاس موجهای تنش می‌توان وضعیت تنش و سرعت در زمانهای مختلف، و زمان جدائی دو میله را بر آورد کرد. مراحل برخورد در شکل (۱۲-۲) نشان داده شده است:



شکل (۱۲-۲)

پس از برخورد، دو موج تنش فشاری با شدت $\sigma = \rho_0 c_0 v_0$ از سطح برخورد به طرف دو انتهای آزاد میله‌ها انتشار می‌یابد. این حالت، برای $\frac{l}{c_0} < t < \frac{2l}{c_0}$ در شکل (۱۲-۲) آورده شده است. سرعت قسمتهایی از میله که بین دو پیشانی موجهای تنش قرار دارد صفر است و در زمان $t = \frac{l}{c_0}$ دو میله کاملاً ساکن می‌شوند. در ضمن، در این زمان هر دو میله تحت تنش فشاری σ قرار خواهند داشت. به عبارت دیگر، در زمان $t = \frac{l}{c_0}$ انرژی جنبشی کلی دو میله (K) به انرژی کرنشی الاستیک (U) تبدیل می‌شود. در نتیجه:

$$K = \frac{1}{2} (\text{جرم میله‌ها}) v_0^2 = 1/2 A_0 L \rho_0 v_0^2 \quad (a)$$

$$U = (\text{حجم میله‌ها}) \cdot \frac{\sigma^2}{2E} = 1/2 A_0 L \rho_0 v_0^2 \quad (b)$$

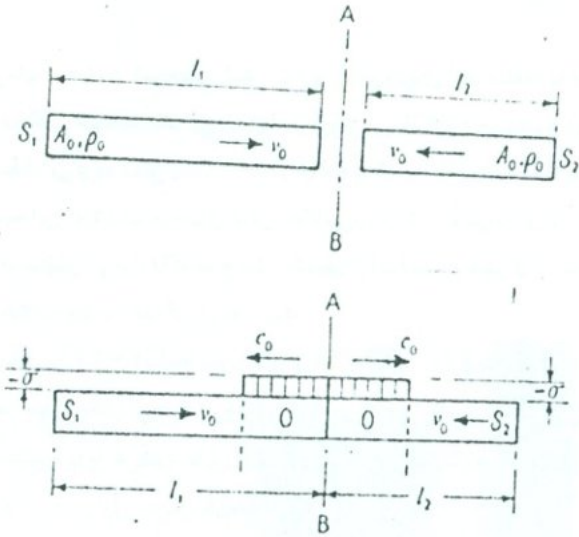
پس از زمان $t = L/c_0$ موجهای تنش فشاری از دو انتهای آزاد میله‌ها به صورت موجهای تنش کششی منعکس خواهند شد. این موجها، موجهای بی بار کننده هستند، و در اثر آنها تنش فشاری میله‌ها حذف می‌گردد شکل (۱۲-۲). در خاتمه زمان $t = 2L/c_0$ میله‌ها بدون تنش خواهند بود. با توجه به این که شدت موجهای تنش انعکاسی برابر شدت موجهای تنش فشاری اولیه است، سرعت قسمتهایی از میله‌ها که موج تنش فشاری از آن قسمت‌ها عبور کرده است، v_0 بوده، برای دو میله در خلاف جهت یکدیگر خواهند بود.

پس از زمان $t = 2L/c_0$ میله‌ها بدون تنش و با سرعتهای v_0 گردیده، شکل (۱۲-۲) در نتیجه، در خلاف جهت یکدیگر حرکت خواهند کرد. در نتیجه، یک بار دیگر انرژی کرنشی الاستیک به انرژی جنبشی تبدیل می‌شود. بدین ترتیب، زمان کلی برخورد $t = 2L/c_0$ بوده، و با توجه به بحث ارائه شده در بخش اول ضریب بازگشت، برابر یک می‌شود ($\epsilon = 1$).

۱۲-۲- برخورد دو میله از یک جنس و با طولهای نابرابر

دو میله S_1, S_2 با طولهای $l_1, l_2, l_1 < l_2$ از یک جنس با سرعتهای مساوی، در خلاف جهت یکدیگر حرکت می‌کنند، شکل (۱۳-۲). پس از برخورد، دو موج تنش فشاری با سرعت برابر در دو میله منتشر شده، قسمتهایی از دو میله که موج از آنها عبور می‌کند، متوقف می‌گردند، شکل (۱۳-۲). شدت موج تنش فشاری در دو میله $\sigma = \rho_0 c_0 v_0$ می‌باشد. موجهای تنش فشاری پس از رسیدن به انتهای آزاد دو میله به صورت کششی انعکاس می‌یابد. در نتیجه، در مدت زمان $l_1/c_0 < t < 2l_1/c_0$ بدون تنش می‌گردد. در زمان $t = 2l_1/c_0$ میله S_2 بدون تنش بوده، سرعت همه قسمتهای آن v_0 ، و برخلاف جهت حرکت اولیه آن خواهد شد. باید توجه داشت که در این زمان، جدائی دو میله اتفاق نمی‌افتد. موج بی بار کننده از میله S_2 وارد میله S_1 شده، قسمتهای سمت راست موج در میله S_1 نیز دارای همان سرعت v_0 می‌شوند. جدائی در زمان $t = 2l_1/c_0$ اتفاق می‌افتد، که در آن زمان موج برگشتی از انتهای سمت چپ میله

S_1 سرعت v_0 را حذف می‌کند. اگر طول میله S_1 بینهایت باشد، تماس دو میله دائمی خواهد بود.



شکل (۱۳-۲)

اکنون، توزیع انرژی برای زمان $t = 2L_2/c_0$ در میله‌های S_1 ، S_2 با شرط $L_2 > L_1$ بررسی می‌شود، شکل (۱۴-۲).

(۱) انرژی جنبشی در میله S_1 برابر با:

$$K_1 = \frac{1}{2} A_0 \rho_0 (2L_2 - L_1) v_0^2 \quad (a)$$

و در میله S_2 برابر با:

$$K_2 = \frac{1}{2} A_0 \rho_0 L_2 v_0^2 \quad (b)$$

خواهد بود.

(ii) انرژی کرنشی الاستیک در میله S_2 صفر و در میله S_1 برابر می‌شود با:

$$\begin{aligned} U_2 &= 1/2 A_0 [2(L_1 - L_2)] \frac{\sigma^2}{E} \\ &= \frac{1}{2} A_0 [2(L_1 - L_2)] v_0^2 \frac{E\rho_0}{E} \\ &= \frac{1}{2} \rho_0 A_0 v_0^2 [2L_1 - 2L_2] \end{aligned} \quad (c)$$

جمع کل انرژی در میله‌ها برابر خواهد شد با:

$$K_1 + K_2 + U_2 = \frac{1}{2} A_0 \rho_0 v_0^2 (L_1 + L_2) \quad (d)$$

که با مجموع انرژی جنبشی دو میله قبل از برخورد برابر می‌شود. در بررسی انجام شده باید توجه داشت که در زمان $t = 2L_2/c_0$ کاهش انرژی جنبشی رخ می‌دهد. و این کاهش برابر با انرژی کرنشی ذخیره شده در میله S_2 خواهد بود.

انرژی کرنشی ذخیره شده در میله‌ها می‌باشد.

۱۳-۲ - انتقال انرژی و اندازه حرکت در برخورد سه میله یکسان

دو میله یکسان A و B با جرم m و طول L و سطح مقطع A، انتها به انتها در حال تماس و ساکن نگهداشته شده، و در انتهای آزاد یکی از میله‌ها توسط میله یکسان C با سرعت v برخوردی رخ می‌دهد. محور سه میله در یک امتداد قرار دارد، شکل (۱۵-۲). حالت تنش و سرعت میله‌ها در زمانهای t = 0 و t = L/c، t = 2L/c، t = 3L/c بررسی شده و نشان داده می‌شود که همواره انرژی و اندازه حرکت ثابت می‌باشند.

(i) اندازه حرکت اولیه برابر است با mv و انرژی جنبشی اولیه 1/2 mv² می‌باشد، شکل (۱۵-۲ a).

(ii) با توجه به شکل (۱۵-۲ b)، اندازه حرکت میله‌های B و C هر یک mv/2 بوده، در نتیجه جمع آنها mv خواهد بود. انرژی جنبشی در هر یک از میله‌های B، C برابر است با 1/8 m(v/2)² و انرژی کرنشی در هر کدام برابر خواهد شد با:

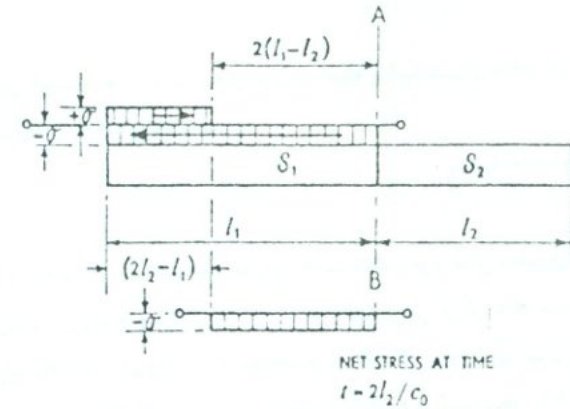
$$\text{حجم میله} \times \frac{\sigma^2}{2E} = A \cdot L \cdot [\rho_0 c_0 (v/2)]^2 / 2E = A_0 L \cdot \frac{\rho_0^2 c_0^2 v_0^2 / 4}{2E} = m v_0^2 / 8$$

بنابراین جمع انرژی جنبشی و کرنشی دو میله B، C برابر می‌شود با:

$$= 2 \times 1/2 m \frac{v_0^2}{4} + 2 \times m \frac{v_0^2}{8} = 1/2 m v_0^2$$

که برابر با همان انرژی جنبشی اولیه می‌باشد.

(iii) با مراجعه به شکل (۱۵-۲ c) دیده می‌شود که در این حالت میله C بدون تنش و ساکن بوده، شرایط تنش و سرعت در میله‌های A، B مشابه میله‌های B، C [مطابق شکل (۱۵-۲ b)] می‌باشد. در نتیجه، توزیع انرژی و اندازه حرکت مثل حالت (ii) خواهد بود.



شکل (۱۶-۲)

در حالت خاص اگر $l_1 = 2l_2$ باشد، در زمان $t = l_1/c_0$ همه میله S_1 تحت تنش فشاری قرار گرفته، سرعت آن صفر خواهد بود. در زمان $t = 1.5 l_1/c_0$ S_1 بدون تنش می‌شود، چون در این زمان موج تنش کششی از دو انتها به وسط میله می‌رسد. نیمه سمت چپ میله S_1 دارای سرعت v_0 به سمت چپ، و نیمه سمت راست دارای همان سرعت به سمت راست خواهد بود. در زمان $t = 2l_1/c_0$ هر نیمه از میله در حال کشش، در زمان $t = 2.5 l_1/c_0$ نیمه‌ها بدون تنش، و در زمان $t = 3 l_1/c_0$ دوباره همه میله در حالت فشاری قرار خواهد گرفت. بنابراین، بعد از بی بار شدن S_2 ، سطح مرکزی S_1 همواره در حالت سکون بوده، اما دو نیمه آن متناوباً در حالت کشش و فشار خواهند بود. ضریب بازگشت در برخورد میله‌های S_1 ، S_2 برای حالت $l_1 = 2l_2$ برابر با $c = 1/2$ خواهد بود. با مراجعه به بخش اول دیده می‌شود که اگر میله‌ها صلب فرض شوند، $c = 1$ بوده، و با این فرض سرعت میله S_1 پس از جدائی برابر با $v_0/3$ به سمت چپ؛ و میله S_2 برابر با $v_0/3$ به سمت راست میل خواهد کرد. طبیعی است که این نتیجه نادرست است و علت آن صرف نظر کردن از

۱۴-۲. برخورد سه میله با امیدانسه‌های نامساوی. مثالی برای انتقال انرژی و اندازه

حرکت

در این قسمت بحث قسمت قبل برای سه میله با امیدانسه‌های (ρc) نابرابر دنبال می‌شود.

برای سهولت بحث فرض می‌شود که:

$$T = L_1/c_1 = L_2/c_2 = L_3/c_3$$

که در آن L_1, L_2, L_3 به ترتیب نشان دهنده طول و سرعت انتشار موج تنش محوری، و زیرنویسهای ۱، ۲، ۳ به ترتیب مربوط به میله‌های ۱، ۲، ۳ می‌باشد. فرض می‌گردد که سطح مقطع سه میله یکسان و برابر A_0 است. در زمان $t=0$ میله‌های ۱، ۲ ساکن و در حال تماس با یکدیگر بوده، و میله ۳ با سرعت v_0 با انتهای سمت راست میله ۲ برخورد می‌کند، شکل (۱۶-۲). در بررسی زیر در زمانهای $T, 2T, 3T$ شدت تنش و سرعت ذرات (یا تغییر سرعت ذرات) محاسبه شده، و در زمان $3T$ نشان داده خواهد شد چگونه انرژی جنبشی و اندازه حرکت میله ۱ بین سه میله توزیع گردیده است.

شکلهای (۱۶-۱)، (۱۶-۲)، (۱۶-۳) موقعیت تنش و سرعت در سه میله را برای زمانهای $t=0, T, 2T, 3T$ نشان می‌دهد. پس از برخورد، تنش فشاری در میله‌های ۱ و ۲ برابر می‌شود. در

نتیجه:

$$O_1 = \rho_1 c_1 (v_0 - v_2)$$

$$O_2 = \rho_2 c_2 v_2$$

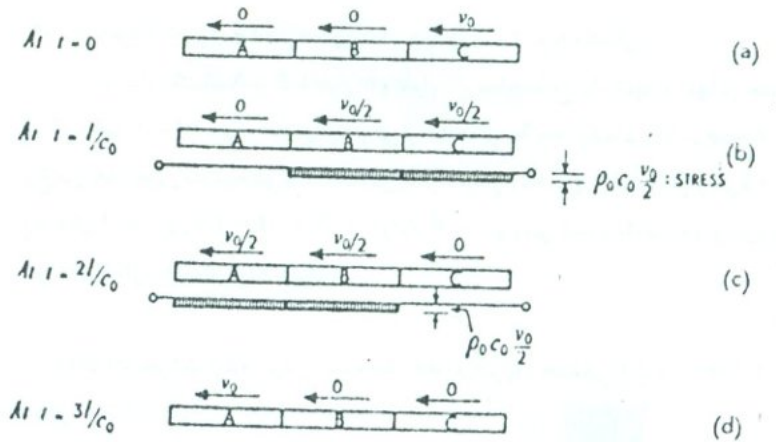
و از طرفی

$$O_1 = O_2$$

در روابط فوق v_2 سرعت ذرات میله ۲ در اثر عبور تنش O_2 می‌باشد. در نتیجه:

$$v_2 = \frac{\rho_1 c_1}{\rho_1 c_1 + \rho_2 c_2} v_0 \quad (a)$$

و



شکل (۱۵-۲)

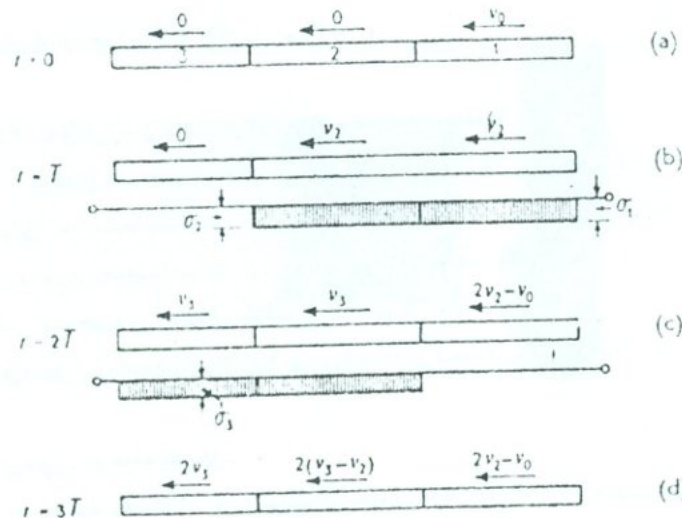
(iv) در زمان $t = 2L/c_0$ میله C بدون تنش و ساکن بوده، اما میله‌های A, B تحت تنش فشاری و دارای سرعت‌های $v_0/2$ به سمت چپ خواهند بود، شکل (۱۵-۲). پس از آن یک موج کششی از سمت راست میله B به سمت چپ حرکت کرده و موج انعکاسی کششی دیگری نیز از انتهای سمت چپ میله A به سمت راست حرکت خواهد کرد. در نتیجه، در زمان $t = 3L/c_0$ این دو میله نیز بدون تنش شده، میله B ساکن و میله A دارای سرعت v_0 به سمت چپ خواهد بود، شکل (15d-2). بدین ترتیب، هر سه میله بدون تنش بوده سرعت‌های میله B, C صفر و میله A برابر با v_0 به سمت چپ است. به عبارت دیگر، انرژی جنبشی و اندازه حرکت اولیه میله C به میله A منتقل گردیده است.

$$\sigma_1 = \sigma_2 = \frac{\rho_1 c_1 \cdot \rho_2 c_2}{\rho_1 c_1 + \rho_2 c_2} v_0 \quad (b)$$

با توجه به فرض اولیه، پیشانی تنش در میله‌های ۱ و ۲ پس از زمان T به دو انتهای آنها خواهد رسید. برای زمان $T < t < 2T$ موقعیت به گونه زیر خواهد بود:

(i) موج تنش فشاری پس از زمان $t = T$ از انتهای سمت راست آن به صورت موج تنش کششی منعکس می‌شود، در نتیجه در زمان $t = 2T$ این میله بدون تنش خواهد شد، شکل (۲-۱۶c). در ضمن، ذرات این میله با سرعتی که در زیر آمده، به سمت چپ حرکت می‌کند:

$$v_2 - (v_3 - v_2) = 2v_2 - v_3 = \frac{\rho_1 c_1 - \rho_2 c_2}{\rho_1 c_1 + \rho_2 c_2} v_0 \quad (c)$$



شکل (۲-۱۶)

(ii) با توجه به اینکه تنش در سطح مشترک میله‌های دوم و سوم باید برابر باشد، اگر سرعت ذرات میله سوم در اثر شدت تنش σ_3 برابر با v_3 فرض شود، نتیجه می‌شود:

$$\sigma_3 = \rho_3 c_3 v_3$$

و

$$\sigma'_2 = \rho_2 c_2 (v_2 - v_3)$$

از طرف دیگر

$$\sigma_3 = \sigma_2 + \sigma'_2$$

در نتیجه:

$$v_3 = \frac{2 \rho_2 c_2}{\rho_2 c_2 + \rho_3 c_3} v_2$$

با استفاده از رابطه (a)، v'_3 برابر خواهد شد با:

$$v_3 = \frac{2 \rho_1 c_1 \cdot \rho_2 c_2}{(\rho_1 c_1 + \rho_2 c_2) (\rho_2 c_2 + \rho_3 c_3)} v_0 \quad (c)$$

و تنش σ_3 برابر می‌شود با:

$$\sigma_3 = \frac{2 \rho_1 c_1 \cdot \rho_2 c_2 \cdot \rho_3 c_3}{(\rho_1 c_1 + \rho_2 c_2) (\rho_2 c_2 + \rho_3 c_3)} v_0 \quad (d)$$

در زمان $t = 2T$ سرعت میله‌های دوم و سوم برابر v_3 خواهد بود.

برای اینکه بعد از $t > 2T$ بین میله اول و دوم نیرویی وجود نداشته باشد، یا به عبارت دیگر، جدائی اتفاق افتد، باید شرط زیر برقرار باشد:

$$2v_3 - 2v'_2 > 2v_2 - v_0$$

یا:

$$v_0 > 2(2v_2 - v_3)$$

با استفاده از روابط (a) و (c) این شرط به صورت زیر در می‌آید:

$$\left(1 + \frac{\rho_1 c_1}{\rho_2 c_2}\right) \left(1 + \frac{\rho_3 c_3}{\rho_2 c_2}\right) > 4 \frac{\rho_1 c_1}{\rho_2 c_2} \cdot \frac{\rho_3 c_3}{\rho_2 c_2} \quad (۲-۱۷)$$

(iii) در زمان $t = 3T$ ، با فرض این که میله اول کاملاً بی بار شده است، انرژی جنبشی و اندازه حرکت آن به ترتیب برابر خواهند شد با:

$$K_1 = \frac{1}{2} A_0 L_1 \rho_1 \left[\frac{i_1 - i_2}{i_1 + i_2} v_0 \right]^2 \quad (c)$$

و

$$M_1 = A_0 L_1 \rho_1 v_0 \frac{i_1 - i_2}{i_1 + i_2} \quad (f)$$

در این روابط که $i_1 = \rho_1 c_1$ و $i_2 = \rho_2 c_2$ می باشد.
میله دوم نیز در زمان $t = 3T$ بی بار شده و سرعت آن برابر است با:

$$v_3 - (2v_2 - v_3) = 2(v_3 - v_2) = 2i_1 (i_2 - i_3) v_0 / (i_1 + i_2)(i_2 + i_3)$$

که در آن $i_3 = \rho_3 c_3$ می باشد. در نتیجه، انرژی جنبشی و اندازه حرکت آن برابر خواهد شد با:

$$K_2 = \frac{1}{2} A_0 L_2 \rho_2 \left[\frac{2i_1 (i_2 - i_3)}{(i_1 + i_2)(i_2 + i_3)} v_0 \right]^2 \quad (g)$$

و

$$M_2 = A_0 L_2 \rho_2 \left[\frac{2i_1 (i_2 - i_3)}{(i_1 + i_2)(i_2 + i_3)} v_0 \right] \quad (h)$$

میله سوم نیز بدون بار بوده، سرعت آن $2v_3$ خواهد بود. در نتیجه، انرژی جنبشی و اندازه حرکت آن برابر می شود با:

$$K_3 = \frac{1}{2} A_0 L_3 \rho_3 \left[\frac{4i_1 i_2}{(i_1 + i_2)(i_2 + i_3)} v_0 \right]^2 \quad (i)$$

و

$$M_3 = A_0 L_3 \rho_3 \left[\frac{4i_1 i_2}{(i_1 + i_2)(i_2 + i_3)} v_0 \right] \quad (j)$$

با استفاده از روابط (c)، (g) و (i) جمع انرژی جنبشی در سه میله برابر خواهد شد با:

$$K_1 + K_2 + K_3 = 1/2 m v_0^2 \quad (k)$$

با توجه به اینکه جرم میله اول برابر $m = A_0 L_1 \rho_1$ است، جمع انرژی سه میله برابر انرژی جنبشی اولیه میله اول خواهد بود.

به طریق مشابه، با استفاده از روابط (d)، (h) و (j) جمع اندازه حرکت سه میله برابر می شود با:

$$M_1 + M_2 + M_3 = m v_0$$

که برابر اندازه حرکت اولیه میله اول می باشد.

۱۵-۲. نمودار زمان-فضا برای برخورد هم محور میله ها

برخورد هم محور میله ها را می توان به سهولت به کمک نمودار زمان-فضا که نمودار لاگرانژ^۱ یا صفحه مشخصه^۲ نیز نامیده می شود، نشان داد. این نمودار برای نشان دادن توزیع تنش محوری و وضعیت سرعت ذرات در برخورد هم محور میله ها مفید بوده، برداشت واضح و روشنی از برخورد در زمانهای مختلف را به دست می دهد.
کاربرد نمودار زمان-فضا برای چند برخورد ساده در قسمت زیر آورده شده است.

(۱) برخورد دو میله یکسان:

دو میله یکسان I، II با سرعتهای مساوی v_0 در زمان $t=0$ برخورد می کنند. نمودار پیشروی تنش در این دو میله در شکل (۱۷a-۲) نشان داده شده است.

OA_1 و OA_2 به ترتیب پیشرفت موجهای تنش فشاری در میله های I، II می باشند. در زمان $t_1 = L/c_0$ موجها به نقاط A_1 و A_2 (انتهای آزاد میله ها) می رسد و در زمان $t_2 = 2L/c_0$ موجهای

تنش کششی منعکس شده. یکدیگر را در B قطع می‌کنند. در این زمان دو میله بی بار شده و با سرعت v_0 از یکدیگر جدا می‌شوند. باید توجه داشت که در نمودار $x-t$ شیب خط نشان‌دهنده سرعت موج c_0 می‌باشد

(ii) برخورد سه میله یکسان

دو میله یکسان I, II در حالت انتها به انتها و در حال تماس و ساکن قرار دارند. میله سوم III با همان مشخصات در زمان $t = 0$ به انتهای راست میله II برخورد می‌کند. نمودار $x-t$ برای این برخورد در شکل (۲-۱۷b) نشان داده شده است. OA_1 , OA_2 نشان‌دهنده موجهای تنش فشاری برای زمان $L/c_0 < t < 2L/c_0$ می‌باشد. برای زمان $2L/c_0 < t < 3L/c_0$ موج تنش فشاری OA_2 به صورت A_2A_3 در میله اول ادامه می‌یابد، و حال آنکه A_1B به صورت موج تنش بی بارکننده از انتهای میله سوم منعکس می‌شود. در زمان $4L/c_0 < t < 5L/c_0$ موج تنش بی بارکننده A_1B به صورت BC در میله دوم ادامه یافته. موج تنش فشاری A_3 به صورت موج تنش کششی A_3C از انتهای آزاد میله اول انعکاس می‌یابد.

بدین ترتیب در زمان $t_1 = 3L/c_0$ هر سه میله بدون تنش می‌باشند. میله‌های I, II ساکن بوده میله I با همان سرعت اولیه میله III جدا شده و به سمت چپ حرکت می‌کند.

(iii) برخورد چهار میله

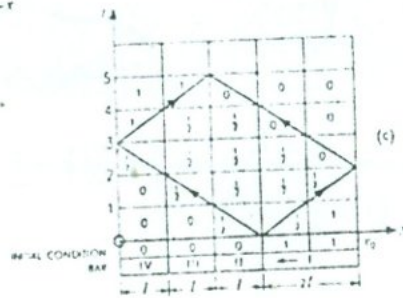
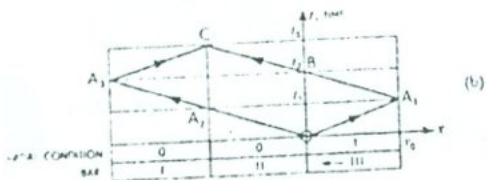
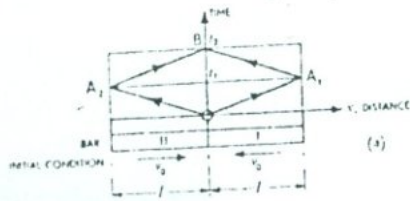
سه میله یک نواخت در حال تماس و ساکن قرار دارد و در زمان $t = 0$ میله چهارم به همان مشخصات ولی با طول دو برابر، با انتهای آزاد یکی از میله‌ها برخورد می‌کند. نمودار زمان-فضا برای این برخورد در شکل (۲-۱۷c) نشان داده شده است. در این حالت توزیع سرعت در قسمتهای مختلف میله‌ها نیز در نمودار آورده شده است. با نشان دادن سرعت v_0 به صورت واحد، اعداد نشان داده شده در شکل (۲-۱۷c) مشخص کننده سرعت میله‌ها می‌باشد. با بررسی نمودار نتایج ذیل به دست می‌آید:

میله I تا زمان $2L/c_0$ تحت تنش فشاری قرار دارد در زمان $4L/c_0$ بدون تنش شده و ساکن می‌گردد. میله II تا زمان $4L/c_0$ تحت فشاری قرار داشته. در زمان $5L/c_0$ بدون تنش گردیده، سرعت آن صفر می‌شود.

میله III از زمان L/c_0 تا $4L/c_0$ تحت تنش فشاری قرار گرفته، در زمان $5L/c_0$ بدون تنش می‌شود. در ضمن، پس از زمان $5L/c_0$ سرعت آن v_0 می‌شود.

میله IV از زمان $2L/c_0$ تا $4L/c_0$ تحت تنش فشاری بوده و در زمان $5L/c_0$ بدون تنش می‌شود. این میله پس از زمان $5L/c_0$ دارای سرعت v_0 خواهد بود.

بدین ترتیب در $t = 5L/c_0$ همه میله‌ها بدون تنش خواهند بود. میله‌های I, II ساکن بوده، میله‌های III و IV با سرعت v_0 به سمت چپ حرکت خواهند کرد.

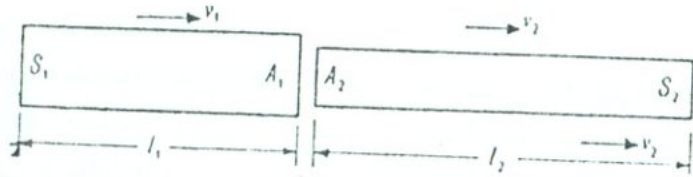


شکل (۲-۱۷)

۱۶-۲- برخورد هم محور دو میله با جنس‌های متفاوت و سطح مقطع نامساوی

دو میله S_1 و S_2 با طولهای l_1 و l_2 و سطح مقطع‌های A_1 و A_2 با جنس‌های مختلف که با

سرعتهای v_1 و v_2 در یک سمت حرکت می‌کنند، [شکل (۲-۱۸)] با فرض $v_1 > v_2$ در زمان



شکل (۲-۱۸)

در حالت خاص اگر میله‌ها از یک جنس باشند، $\rho_1 c_1 = \rho_2 c_2$ ، با فرض $\mu = A_1 / A_2$ نتیجه می‌شود:

$$v_0 = \frac{v_1 + \mu v_1}{1 + \mu}$$

در این حالت برای اینکه سرعت برخورد صفر شود $v_0 = 0$ باید بین سرعت‌های اولیه رابطه $v_2 = -\mu v_1$ برقرار باشد.

اگر $l_1 = 2l_2$ و $\rho_1 = \rho_2$ باشد، در زمان $t = 2l_2/c_2$ میله S_2 بدون بار شده، میله S_1 ساکن گردیده، تحت تنش فشاری قرار می‌گیرد. بنابراین، برای $t > 2l_2/c_2$ بدون تنش و با سرعت $(2v_0 - v_2)$ جدا شده، مرکز میله S_1 همواره ساکن خواهد بود. اگر ضریب بازگشت در این شرایط نسبت به مرکز دومیله c فرض گردد، در نتیجه:

$$2v_0 - v_2 = -c(v_2 - v_1)$$

یا:

$t = 0$ برخورد می‌کنند. پس از برخورد و در زمان $0 < t < \frac{l_1}{c_1}, \frac{l_2}{c_2}$ سرعت قسمتهائی از دو میله که موجهای تنش فشاری از آن عبور کرده، v_0 در نظر گرفته می‌شود.

با توجه به تساوی نیروی بین دو میله در برخورد، و با فرض تنش‌های فشاری به صورت σ_1 و σ_2 تساوی زیر برقرار خواهد بود:

$$A_1 \sigma_1 = A_2 \sigma_2$$

$$A_1 \rho_1 c_1 (v_1 - v_0) = A_2 \rho_2 c_2 (v_0 - v_2)$$

در نتیجه v_0 برابر می‌شود با:

$$v_0 = \frac{v_2 + \frac{A_1 \rho_1 c_1}{A_2 \rho_2 c_2} v_1}{1 + \frac{A_1 \rho_1 c_1}{A_2 \rho_2 c_2}} \quad (2-18)$$

بدین ترتیب تنش‌های حاصل در دو میله برابر خواهند شد با:

$$\sigma_1 = \frac{\rho_1 c_1 v_1}{\left(1 + \frac{A_1 \rho_1 c_1}{A_2 \rho_2 c_2}\right)} \left[1 - \frac{v_2}{v_1}\right]$$

$$\sigma_2 = \frac{\rho_2 c_2 v_2}{1 + \left(\frac{A_1 \rho_1 c_1}{A_2 \rho_2 c_2}\right)} \left[\frac{v_1}{v_2} - 1\right] \frac{A_1 \rho_1 c_1}{A_2 \rho_2 c_2} \quad (2-19)$$

شدت موج انتقالی به S_2 ، σ_T و شدت موج برگشتی به S_1 ، σ_R را می‌توان با استفاده از دو شرط تعادل نیرو و پیوستگی زیر به دست آورد:

(i) نیروی روی سطح AB از دو قسمت S_1 ، S_2 همواره برابرند.

(ii) سرعت ذرات روی AB در دو قسمت S_1 ، S_2 برابر می‌باشند.

با فرض این که σ_T ، σ_R فشاری هستند، شرط اول به صورت زیر در می‌آیند:

$$A_1 (\sigma_T + \sigma_R) = A_2 \sigma_T \quad (a)$$

از شرط دوم نیز رابطه زیر به دست می‌آید:

$$v_1 - v_R = v_T \quad \text{یا} \quad \frac{(\sigma_T - \sigma_R)}{\rho_1 c_1} = \frac{\sigma_T}{\rho_2 c_2} \quad (b)$$

در رابطه فوق سرعت و زیرنویسهای T, R, I به ترتیب برای موجهای ورودی، برگشتی و انتقالی بکار رفته‌اند.

با حل روابط (a)، (b) نتیجه خواهد شد که:

$$\sigma_T = \frac{2A_1 \rho_2 c_2}{A_2 \rho_2 c_2 + A_1 \rho_1 c_1} \sigma_1 \quad (2-20)$$

و

$$\sigma_R = \frac{A_2 \rho_2 c_2 - A_1 \rho_1 c_1}{A_2 \rho_2 c_2 + A_1 \rho_1 c_1} \sigma_1 \quad (2-21)$$

رابطه (2-21) نشان می‌دهد که اگر دو قسمت S_1 ، S_2 از یک جنس باشند، $\rho_1 = \rho_2$ ، $c_1 = c_2$ ، اگر در AB سطح مقطع زیادتر شود تنشهای ورودی و برگشتی هم علامت، و اگر کمتر شود مختلف علامت خواهند بود، و در همان حال، با توجه به رابطه (2-20) شدت موج تنش انتقالی بزرگتر و یا کوچکتر از شدت موج تنش ورودی خواهد بود.

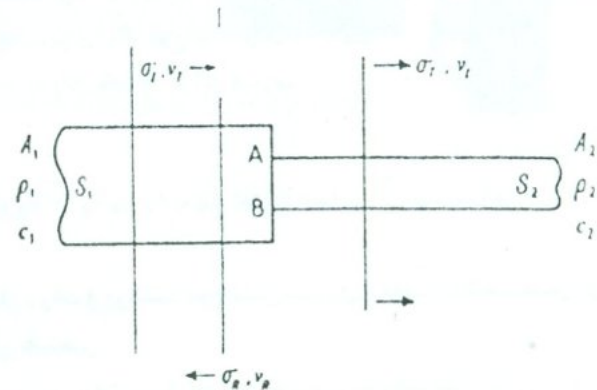
روابط به دست آمده با توجه به فرض‌هایی که قبلاً در رابطه با موجهای تنش محوری ارائه شد و با توجه به اینکه قسمتی از سطح مقطع S_1 و یا S_2 در AB به صورت سطح آزاد است، تقریبی

$$c = \frac{-2 \frac{(v_2 + \mu v_1)}{1 + \mu} + v_2}{v_2 - v_1} = \frac{\mu}{1 + \mu}$$

اگر $\mu = 1$ باشد، c برابر 1/2 خواهد شد.

۱۷-۲- انتقال تنش محوری در میله‌هایی که دارای ناپیوستگی در سطح مقطع هستند، و میله‌هایی با دو جنس مختلف

میله‌ای مطابق شکل (۱۹-۲) از دو قسمت S_1 ، S_2 با جنس‌های مختلف و با سطوح مقطع A_1 و A_2 در نظر گرفته می‌شود. فرض می‌شود که موج تنش ورودی به شدت σ_1 در قسمت S_1 و به سمت راست حرکت می‌کند. قسمتی از این موج تنش فشاری الاستیک پس از رسیدن به مقطع مشترک AB، به قسمت S_2 منتقل شده و قسمتی از آن در S_1 منعکس خواهد شد. باید توجه داشت که اگر A_2 صفر باشد همه موج تنش منعکس می‌گردد و اگر دو قسمت یکسان و دارای سطح مقطع برابر باشند همه موج تنش منتقل خواهد گردید. با توجه به اینکه در حالت مورد بحث، S_1 و S_2 از دو جنس مختلف بوده، دارای دو سطح مقطع متفاوت هستند، قسمتی از موج تنش ورودی منتقل و قسمتی منعکس خواهد شد.



شکل (۱۹-۲)

می‌باشند. در حقیقت، در مقطع AB و در قسمتهای نزدیک آن تداخل امواج تنش بسیار پیچیده خواهد بود.

با توجه به روابط $(\sigma_1 - \sigma_2)$ و $(\sigma_2 - \sigma_3)$ اگر دو قسمت میله از یک جنس باشند، $E_1 = E_2$ ، $c_1 = c_2$ ، $\rho_1 = \rho_2$ است. در نتیجه:

$$(a) \text{ اگر } A_2/A_1 \rightarrow 0 \text{ انتهای میله عملاً انتهای آزاد است و } \sigma_T \rightarrow 2\sigma_1, \sigma_R \rightarrow -\sigma_1$$

$$(b) \text{ اگر } A_2/A_1 \rightarrow \infty \text{ انتهای میله مشابه انتهای گیردار می‌باشد و } \sigma_T \rightarrow 0, \sigma_R \rightarrow \sigma_1$$

نتایج فوق نشان می‌دهد که یک میله کوچک، در انتهای یک میله با سطح مقطع بزرگتر می‌تواند به عنوان یک ضربه‌گیر بکار رود. در ضمن "ضریب بزرگ نمایی" برای میله‌ای با یک ناپیوستگی هندسی، با توجه به نتیجه (a) برابر با 2 است.

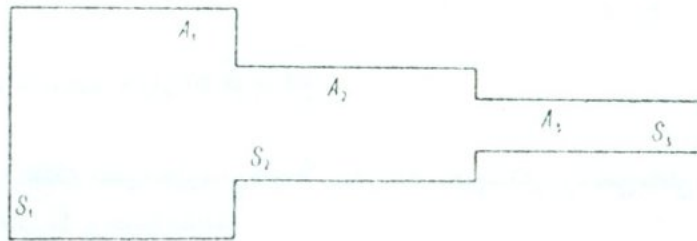
در مثال زیر اثر دو ناپیوستگی هندسی روی تنش انتقالی بررسی شده و نشان داده می‌شود که وجود یک قسمت رابط بین قسمتهای اولیه و انتهایی، باعث ازدیاد ضریب بزرگنمایی خواهد شد.

در شکل $(\sigma_1 - \sigma_2)$ فرض می‌شود که $A_1/A_2 = A_2/A_3 = 2$ ، $A_1/A_3 = 4$ ، برای یک موج تنش فشاری ورودی با شدت σ_1 ، تنش انتقالی σ_{T12} در قسمت با سطح مقطع A_2 برابر می‌شود با:

$$\frac{\sigma_{T12}}{\sigma_1} = \frac{2A_1}{A_1 + A_2} = \frac{2 \times 2}{2 + 1} = \frac{4}{3}$$

و تنش انتقالی به قسمت S_3 ، σ_{T13} برابر خواهد شد با:

$$\sigma_{T13} = \frac{2A_2}{A_2 + A_3} \cdot \sigma_{T12} = \frac{2 \times 2}{2 + 1} \times \frac{4}{3} \sigma_1 = 1.78\sigma_1$$



شکل (۲-۲۰)

اگر قسمت S_2 حذف شود، در اثر تغییر سطح از A_1 به A_3 تنش انتقالی برابر می‌شود با:

$$\sigma_{T13} = \frac{2A_1}{A_1 + A_3} \sigma_1 = \frac{2 \times 4}{4 + 1} \cdot \sigma_1 = 1.60 \sigma_1$$

بنابراین، با اضافه کردن یک پله بینابینی شدت تنش حدود 10% افزایش می‌یابد.

یک نتیجه جالب برای اینکه موج برگشتی در یک ناپیوستگی صفر گردد، $\sigma_R = 0$ این است که

$$A_2 \rho_2 c_2 = A_1 \rho_1 c_1 \text{ باشد. در این صورت:}$$

$$\sigma_T = \sigma_1 + \sqrt{E_2 \rho_2 / E_1 \rho_1}$$

شرط $A_2 \rho_2 c_2 = A_1 \rho_1 c_1$ به نام "انطباق امپدانس" نامیده می‌شود.

۱۸-۲. تداوم رفت و برگشت موج تنش محوری و تغییرات شدت تنش در میله‌ای با یک

ناپیوستگی هندسی

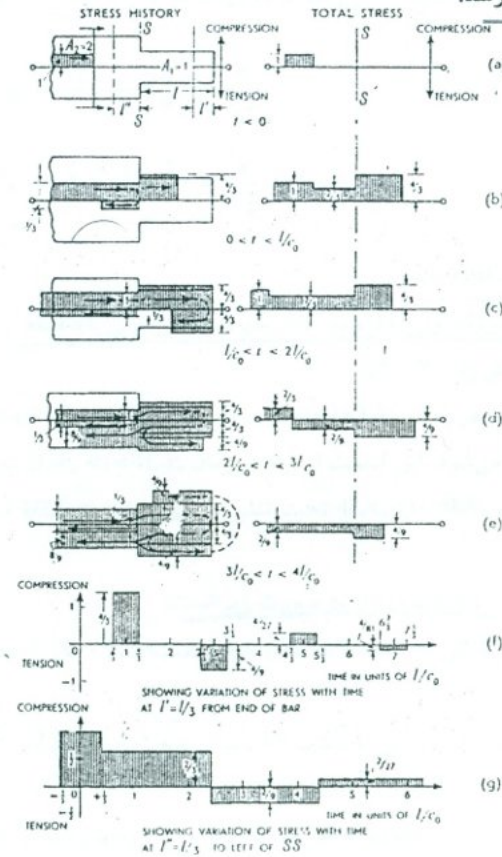
برای بررسی رفت و برگشت موج محوری و تغییرات شدت تنش در اثر ترکیب موجهای

تنش رفت و برگشت، میله بسیار بلندی که در انتهای آن ناپیوستگی هندسی از سطح مقطع A_2 به

A_1 وجود دارد در نظر گرفته می‌شود، شکل (۲-۲۱a). سطح مقطع A_2 برابر ۲ واحد و سطح مقطع A_1 برابر واحد است و فرض می‌شود که یک موج تنش فشاری به شدت واحد در قسمت یکنواخت میله به سمت راست حرکت می‌کند، طول قسمت انتهایی میله L می‌باشد. تغییرات موج تنش و رفت و برگشت آن تا زمان $t = 5L/c_0$ در شکل (۲-۲۱) نشان داده شده است. شکل (۲-۲۱) شامل دو نمودار است. نمودار سمت چپ رفت و برگشت موجهای تنش روی میله‌ها و نمودار سمت راست نتیجه تنش را نشان می‌دهد.

(i) شکل (۲-۲۱a)، $t < 0$

وضعیت اولیه تنش برای $t < 0$ در این شکل آورده شده است. باید توجه داشت که $t = 0$ زمانی است که موج تنش به مقطع SS می‌رسد.



شکل (۲-۲۱)

(ii) $0 < t < L/c_0$ ، شکل (۲-۲۱ b)

پس از رسیدن موج تنش به ناپیوستگی هندسی SS قسمتی از موج با شدت σ'_T منتقل شده، قسمتی هم با شدت σ'_R به قسمت اصلی میله منعکس می‌گردد. شدت موجهای انتقالی و برگشتی با توجه به روابط (۲-۲۰)، (۲-۲۱) برابر خواهند شد با:

$$\sigma'_T = \frac{2 \times 2}{1+2} = \frac{4}{3}$$

و

$$\sigma'_R = \frac{1-2}{1+2} = -\frac{1}{3}$$

باید توجه داشت که علامت منفی نشان‌دهنده تغییر علامت تنش است. به عبارت دیگر، با توجه به اینکه موج تنش ورودی فشاری در نظر گرفته شده است، σ'_R در این حالت، تنش کششی خواهد بود.

(iii) $L/c_0 < t < 2L/c_0$ ، شکل (۲-۲۱c)

در زمان $t = L/c_0$ با تغییر علامت از انتهای آزاد میله منعکس می‌شود، و در زمان $t = 2L/c_0$ قسمت انتهایی میله بدون تنش خواهد بود.

(iv) $2L/c_0 < t < 3L/c_0$ ، شکل (۲-۲۱ d)

در زمان $t = 2L/c_0$ موج کششی انعکاسی از انتهای میله به مقطع SS می‌رسد. در نتیجه، در $t > \frac{2L}{c_0}$ قسمتی از این موج تنش به قسمت با سطح کوچکتر منعکس می‌گردد. شدت این موج برگشتی برابر است با:

$$\sigma''_R = \frac{2-1}{2+1} \left(-\frac{4}{3} \right) = -\frac{4}{9}$$

قسمت دیگری از این موج با شدت زیر منتقل می‌شود:

$$\sigma''_T = \frac{2 \times 1}{2 + 1} \left(-\frac{4}{3}\right) = -\frac{8}{9}$$

$$(v) \quad 3L/c_0 < t < 4L/c_0 \quad (2-21 e)$$

موج با شدت σ''_R با تغییر علامت از انتهای آزاد میله منعکس می‌شود.

$$4L/c_0 < t < 5L/c_0 \quad (vi)$$

موج منعکس شده فشاری با شدت $4/9$ به مقطع SS می‌رسد اما دوباره به دو موج برگشتی و انتقالی با شدت‌های زیر تقسیم می‌شود:

$$\sigma'''_R = \frac{2-1}{2+1} \left(\frac{4}{9}\right) = \frac{4}{27}$$

$$\sigma'''_R = \frac{2 \times 1}{2+1} \left(\frac{4}{9}\right) = \frac{8}{27}$$

این پدیده تا زمان بی‌نهایت می‌تواند ادامه یابد.

حال تغییرات تنش در دو مقطع خاص، که اولی با فاصله L' از انتهای آزاد و دومی با فاصله L'' در سمت چپ SS، بررسی می‌شود، شکل (2-21 a).

قسمت انتهایی میله با مقطع کوچکتر، در زمان $0 < t < L/c_0$ تحت تنش فشاری با شدت $4/3$ قرار گرفته، که در زمان $t = 2L/c_0$ بی‌بار می‌شود. این قسمت از میله در زمان $2L/c_0 < t < 4L/c_0$ تحت تنش کششی با شدت $4/9$ و در زمان $4L/c_0 < t < 6L/c_0$ تحت تنش فشاری با شدت $4/27$ قرار خواهد گرفت.

وضعیت تنش برای مقطعی با فاصله L' از انتهای آزاد به صورت زیر است:

* برای زمان $2L'/c_0$ تحت تنش کششی به شدت $4/3$ ، برای بقیه زمان $(L - L')/c_0 < t < 2L'/c_0$ تحت تنش صفر.

* دوباره برای زمان $2L'/c_0$ تحت تنش کششی به شدت $4/9$ ، برای بقیه زمان $(L - L')/c_0 < t < 2L'/c_0$ تحت تنش صفر.

* و بالاخره برای زمان $2L'/c_0$ تحت تنش فشاری به شدت $4/27$ ، برای بقیه زمان $(L - L')/c_0 < t < 2L'/c_0$ تحت تنش صفر.

تحت تنش صفر.

نمودار تنش در این مقطع برای حالت $L' = L/3$ در شکل (2-21 f) آورده شده است.

وضعیت تنش برای مقطعی از میله با سطح ۲ واحد و با فاصله L'' از SS بگونه زیر می‌باشد:

$$\sigma = 1 \quad , \quad t > L''/c_0$$

$$\sigma = 1 \quad , \quad 0 < t < L''/c_0$$

$$\sigma = 1 - \frac{1}{3} = \frac{2}{3} \quad , \quad L''/c_0 < t < L'' + 2L/c_0$$

$$\sigma = \frac{2}{3} - \frac{8}{9} = -\frac{2}{9} \quad , \quad (L'' + 2L)/c_0 < t < L'' + 4L/c_0$$

$$\sigma = -\frac{2}{9} + \frac{8}{27} = \frac{2}{27} \quad , \quad (L'' + 4L)/c_0 < t < L'' + 6L/c_0$$

و

برای حالت $L'' = L/3$ تغییرات تنش در این مقطع مطابق شکل (2-21 g) خواهد بود.

۱۹-۲. موجهای تنش محوری در یک میله تقریباً مخروطی

بررسی کامل انتشار تنش در یک میله مخروطی در بخش چهارم ذکر خواهد شد. در این

قسمت، پیشروی یک موج تنش فشاری با شدت واحد که به طرف رأس مخروط حرکت می‌کند،

مورد تحلیل تقریبی قرار می‌گیرد.

انتهای یک میله به صورت مخروطی پله‌ای مطابق شکل (2-22a) در نظر گرفته می‌شود. طول هر

قسمت L سطح مقطع هر کدام مربع شماره ردیف آن قسمت نسبت به انتها فرض می‌شود. در ضمن

در بررسی زیر، طول هر قسمت در مقایسه با قطر آن بزرگ فرض می‌گردد.

با شدت‌های زیر ایجاد می‌شوند:

$$\sigma_{T4} = \frac{2 \times 25}{16 + 25} (1.18) = 1.44$$

$$\sigma_{R4} = \frac{16 - 25}{16 + 25} (1.18) = -0.26$$

$$t = 2T \quad (\text{iii})$$

در زمان $t = 2T$ موج تنش انتقالی σ_{T4} به مقطع 3 می‌رسد و در نتیجه:

$$\sigma_{T3} = \frac{2 \times 16}{9 + 16} (1.44) = 1.84$$

$$\sigma_{R3} = \frac{9 - 16}{9 + 16} (1.44) = -0.403$$

در ضمن، در همین زمان $t = 2T$ موج برگشتی مقطع 4 و σ_{R4} ، به مقطع 5 رسیده، و در اثر آن یک موج برگشتی به طرف رأس مخروط با شدت زیر ایجاد می‌شود:

$$\sigma_{R4,5} = \frac{36 - 25}{36 + 25} (-0.26) = 0.047$$

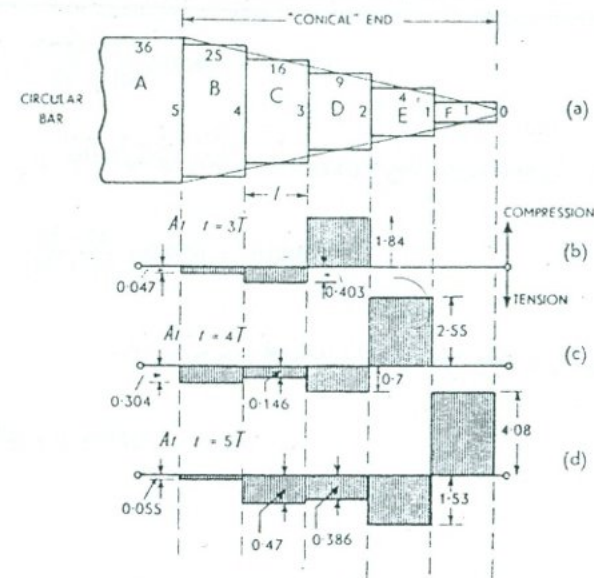
$$t = 3T \quad (\text{iv})$$

در این زمان در اثر ورود موج تنش σ_{T3} به مقطع 2 تنشهای زیر ایجاد می‌گردد:

$$\sigma_{T2} = \frac{2 \times 9}{4 + 9} (1.84) = 2.55$$

$$\sigma_{R2} = \frac{4 - 9}{4 + 9} (1.84) = -0.71$$

در این زمان موج تنش $\sigma_{R4,5}$ به مقطع 4 می‌رسد و موج انتقالی حاصل از آن با شدت زیر خواهد بود:



شکل (۲۰-۲۲)

یک موج پله‌ای به شدت واحد و به طول L در قسمت A و به سمت راست حرکت کرده، که در زمان $t = 0$ به مقطع 5 می‌رسد. با استفاده از روابط (۲۰-۲۰) و (۲۰-۲۱) انتشار موج به طرف رأس مخروط، و تغییرات شدت تنش نسبت به ضرایبی از زمان T ؛ زمانی که موج تنش طول یک قسمت را طی می‌کند، به صورت زیر خواهد بود:

$$t = 0 \quad (\text{i})$$

به محض آنکه، موج تنش ورودی به مقطع 5 برسد، یک موج برگشتی به شدت σ_{R5} و یک موج انتقالی به شدت σ_{T5} ایجاد می‌شود. با توجه به روابط بیان شده، این دو موج برابر می‌شوند با:

$$\sigma_{T5} = \frac{2 \times 36}{25 + 36} 1 = 1.18$$

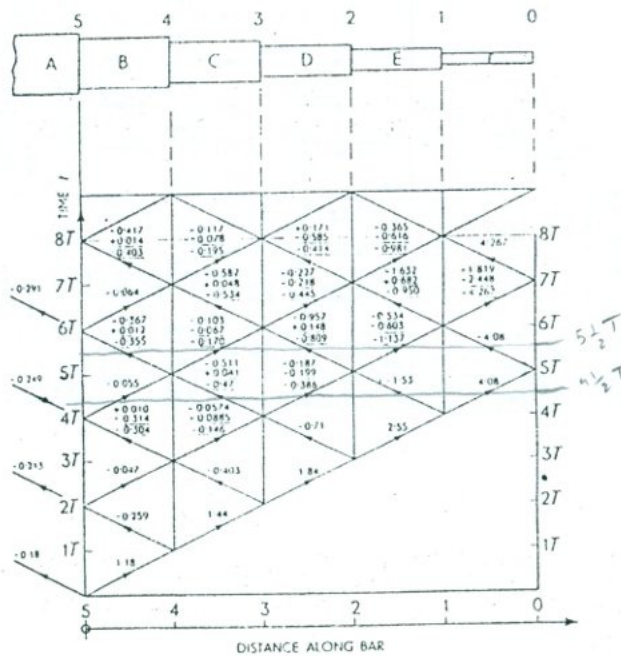
$$\sigma_{R5} = \frac{25 - 36}{25 + 36} 1 = -0.18$$

$$t = T \quad (\text{ii})$$

در این زمان موج انتقالی σ_{T5} به مقطع 4 می‌رسد، و در نتیجه، دو موج انتقالی و برگشتی σ_{R4} ، σ_{T4}

این بررسی را می‌توان تا رسیدن موج به انتهای آزاد رأس مخروط ادامه داد. با داشتن نتایج فر توزیع شدت تنش در قسمت‌های مختلف مخروط برای $t = 3T$ به صورت شکل (۲-۲۲b). برای $t = 4T$ به صورت شکل (۲-۲۲c) صورت می‌گیرد. برای $t = 5T$ که موج تنش به انتها آزاد رسیده است، توزیع تنش در شکل (۲-۲۲d) آورده شده است.

با توجه به نتایج بدست آمده، دیده می‌شود که ضمن حرکت موج تنش به طرف رأس مخروط شدت آن زیاد می‌شود. در نتیجه می‌توان انتظار داشت که تنش در قسمت F زیاد باشد. پس رسیدن موج تنش فشاری به انتهای آزاد رأس مخروط، به صورت کششی منعکس می‌شود. رو تحلیل فوق را می‌توان برای محاسبه شدت تنش در زمانهای بعدی بکار برد. با توجه به پیچیده شدن محاسبات، بهتر است از نمودار مشخصه استفاده کرد. برای میله مخروطی فوق، نمودار مشخصه زمان $t = 0$ تا $t = 8T$ در شکل (۲-۲۳) آورده شده است.



شکل (۲-۲۳)

$$\sigma_{R4,5,4} = \frac{2 \times 25}{25 + 16} (-0.047) = -0.0574$$

به این تنش باید موج تنش انعکاسی از مقطع 4 و $\sigma_{R3,4}$ در اثر تنش σ_{R3} را اضافه کرد:

$$\sigma_{R3,4} = \frac{25 - 16}{25 + 16} (-0.403) = -0.0885$$

در نتیجه شدت تنش کلی از مقطع 4 به طرف رأس مخروط برابر می‌شود با:

$$(-0.0574) + (-0.0885) = -0.146$$

$$t = 4T (v)$$

در مقطع 1 تنش‌های انتقالی و برگشتی برابر می‌شوند با:

$$\sigma_{T1} = \frac{2 \times 4}{1 + 4} (2.55) = 4.08$$

$$\sigma_{R1} = \frac{1 - 4}{1 + 4} (2.55) = -1.53$$

در این زمان در مقطع 3 وضعیت تنش به صورت زیر خواهد بود:

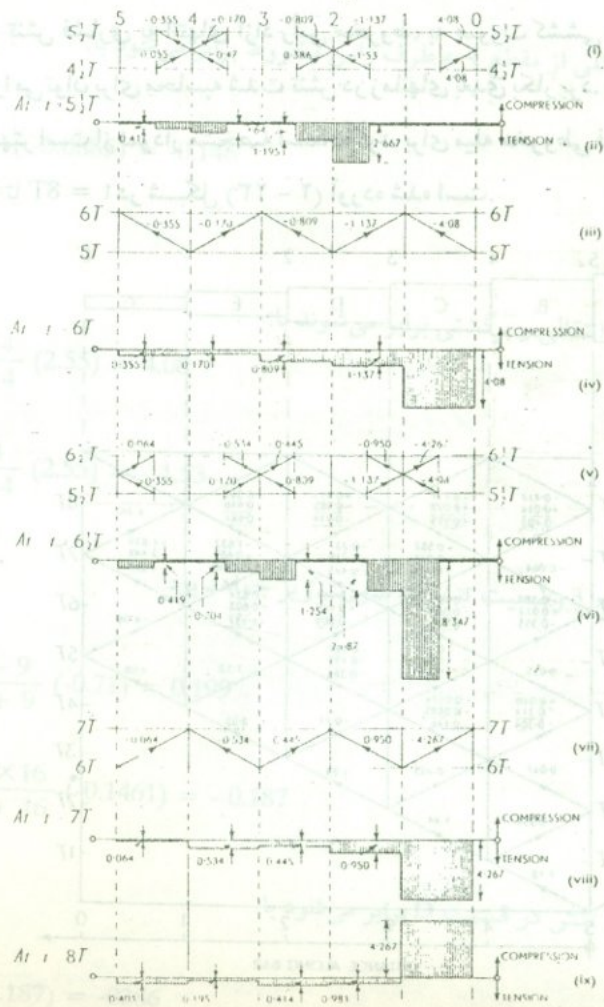
$$\sigma_{R2,3} = \frac{16 - 9}{16 + 9} (-0.71) = 0.199$$

$$\sigma_{R3,4,3} = \frac{2 \times 16}{9 + 16} (-0.1461) = -0.187$$

بنابراین شدت کلی تنش در قسمت D برابر می‌شود با:

$$(-0.199) + (-0.187) = -0.386$$

با استفاده از نمودار شکل (۲۳ - ۲)، توزیع تنش را در هر زمان خاص میتوان بدست آورد. برای سهولت می توان قسمتهای مورد نیاز این نمودار را جدا کرد، شکل (۲۴ - ۲)، و با جمع تنش های هر قسمت، منتهجه تنش را به دست آورد. به عنوان مثال، برای بررسی تنش در زمان $t = 5\frac{1}{2}T$ ، می توان قسمتی از نمودار شکل (۲۳ - ۲) را مطابق شکل (۲۴i - ۲) جدا کرده و سپس با جمع تنشهای حاصل تنش در هر قسمت را مطابق شکل (۲۴ii - ۲) بدست آورد. در شکل (۲۴ - ۲)، علاوه بر حالت فوق، تنش منتهجه در زمانهای $6T$ ، $6\frac{1}{2}T$ ، $7T$ و $8T$ نیز آورده شده است.



شکل (۲۴ - ۲)

توزیع اندازه حرکت برای زمانهای مختلف، با فرض $T = 1$ ، در جدول ۲-۳ نشان داده شده است. به کمک این جدول می توان به سادگی نشان داد که در هر زمان جمع اندازه حرکت، مقدار ثابتی خواهد بود. باید توجه داشت که برای حرکت به سمت راست موج فشاری و حرکت به سمت چپ موج کششی، اندازه حرکت مثبت، و برای حالت های عکس، اندازه حرکت منفی در نظر گرفته شده است.

جدول ۲-۳ توزیع اندازه حرکت، ($T = 1$)

Section	A	B	C	D	E	F	Momentum Total
Time 0	1.36	36.00					36.00
T	0.18.36	6.48	1.18.25	29.50			35.98
2T	0.18.36	6.48	0.259.25	6.48	1.44.16	23.04	36.00
3T	0.18.36 +0.213.36	14.15	-0.047.25	-1.175	0.403.16	1.84.9	35.98
4T	0.18.36 +0.213.36	14.15	0.304.25	7.60	-0.146.16	-2.34	36.00
5T	0.18.36 +0.213.36 +0.249.36	23.12	-0.055.25	-1.375	0.47.16	-0.386.9	36.01
5.5T		23.42	-0.055.25 +0.355.25	3.75	0.47.16 -0.17.16	-0.386.9 +0.809.9	36.09
6T		23.42	0.355.25	8.875	-0.170.16	-2.720	35.99
6.5T	0.18.36 +0.213.36 +0.249.36	28.36	0.355.25 -0.064.25	3.637	0.534.16 -0.170.16	-0.445.9 +0.809.9	36.08
7T		33.59	-0.064.25	-1.60	0.334.16	8.54	36.00
8T		33.59	0.403.25	10.075	-0.195.16	-1.12	36.07

۲۰ - انتقال موجهای پیچشی در میله‌های با دو جنس مختلف، یا در میله‌ای با ناپیوستگی هندسی

دو میله استوانه‌ای با جنس‌های مختلف، و با قطرهای متفاوت در نظر گرفته، فرض می‌شود که انتهایشان با هم متصل است. کوپل پیچشی T_I بطور ناگهانی به انتهای میله ۱ وارد آمده، ثابت باقی می‌ماند. با صرف نظر کردن از اثر موضعی محل اتصال دو میله، پس از رسیدن موج ورودی T_I به سطح ناپیوستگی، کوپل T_R منعکس شده، کوپل T_T منتقل می‌شود. در نتیجه:

$$T_I + T_R = T_T \quad (a)$$

این رابطه با توجه به تعادل کوپل پیچشی در دو طرف ناپیوستگی نوشته شده است. در ضمن، با توجه به پیوستگی در محل اتصال، سرعت زاویه‌ای دو میله در این محل باید برابر باشد. به عبارت دیگر:

$$\omega_I - \omega_R = \omega_T \quad (b)$$

چون T_R در خلاف جهت T_I و T_T است، ω_R در این رابطه منفی در نظر گرفته شده است. با استفاده از رابطه (c) قسمت ۸ - ۲، رابطه (b) را می‌توان به صورت زیر نوشت:

$$\frac{T_I}{J_1 \sqrt{G_1 \rho_1}} - \frac{T_R}{J_1 \sqrt{G_1 \rho_1}} = \frac{T_T}{J_2 \sqrt{G_2 \rho_2}} \quad (c)$$

با حل دو رابطه (a) و (c) نتیجه می‌شود که:

$$T_T = \frac{2T_I}{1 + \frac{J_1}{J_2} \cdot \frac{\sqrt{G_1 \rho_1}}{\sqrt{G_2 \rho_2}}} = \frac{2T_I}{1 + \frac{J_1 \rho_1 c_{T1}}{J_2 \rho_2 c_{T2}}} = \frac{2T_I}{1 + n} \quad (2-22)$$

$$T_R = -T_I \frac{1 - \frac{J_1}{J_2} \cdot \frac{\sqrt{G_1 \rho_1}}{\sqrt{G_2 \rho_2}}}{1 + \frac{J_1}{J_2} \cdot \frac{\sqrt{G_1 \rho_1}}{\sqrt{G_2 \rho_2}}} = -T_I \frac{1-n}{1+n} \quad (2-23)$$

در این دو رابطه $n = J_1 \rho_1 c_{T1} / J_2 \rho_2 c_{T2}$ می‌باشد.

اگر دو قسمت میله از یک جنس بوده، و قطر یک قسمت دو برابر قطر قسمت دیگر باشد، با استفاده از رابطه (۲۲ - ۲) نتیجه خواهد شد:

$$T_T = \frac{2T_I}{1 + \frac{J_1}{J_2}} = \frac{2T_I}{1 + \frac{1}{4}} = \frac{2}{17} T_I \quad (d)$$

$$T_T = \frac{2T_I}{1 + \frac{1}{4}} = \frac{32}{17} T_I \quad (c)$$

رابطه (d) برای حالتی است که قطر میله کم می‌شود، اما رابطه (c) برای حالتی است که قطر میله زیاد می‌گردد.